

K-27

Министерство общего и профессионального образования
Российской Федерации
Уральская государственная лесотехническая академия

Кафедра автоматизации производственных
процессов

В. Е. Выборнов
А. И. Бабин

ПРОЕКТИРОВАНИЕ СИСТЕМ АВТОМАТИЗАЦИИ И
АВТОМАТИЗАЦИЯ ТЕХНОЛОГИЧЕСКИХ ПРОЦЕССОВ
Методические указания к курсовому и дипломному
проектированию

Екатеринбург 1998

СПИСОК ЛИТЕРАТУРЫ

1. Цифровые и аналоговые интегральные микросхемы: Справочник / С. В. Якубовский, П. И. Ниссельсон, В. И. Куликова и др.; - М.: Радио и связь, 1990. - 496 с.
2. Шило В. Л. Популярные цифровые микросхемы: Справочник. 2-е изд. исправл.- Челябинск: Металлургия, Челябинское отд., 1984.- 352 с.
3. Шило В. Л. Популярные микросхемы КМОП: Справочник - М.: Издательство "Ягуар", 1993.- 64 с.

Рассмотрено и рекомендовано кафедрой автоматизации производственных процессов.
Протокол № 9 от 21.05.98 г.

Рецензент канд. с.-х. наук, доц. Машков В.М.

Редактор РИО Антонец А.Я.

Подписано в печать 24.06.98 Формат 60x84 1/16

Плоская печать Печ. л. 2,32 Тираж 100 экз.
Заказ № 620 Поз. 25 Цена 40 руб.

Редакционно-издательский отдел УГЛТА
Отдел оперативной полиграфии

ВВЕДЕНИЕ

Настоящие методические указания составлены для оказания технической помощи студентам 5-го курса спец. 2102.00 при курсовом проектировании систем автоматики по дисциплинам: "Автоматизация технологических процессов", "Проектирование систем автоматизации", а также при дипломном проектировании.

Системы управления и регулирования технологическим оборудованием могут быть разработаны как на контактных, так и на бесконтактных электрорадиоизделиях (ЭРИ).

Данные методические указания посвящены проектированию бесконтактных автоматизированных устройств.

В отличие от контактных схем бесконтактные проектируются на более надежной малогабаритной с малым потреблением электрической мощности элементной базе.

Далее по тексту представлены основные типы необходимых ЭРИ, их технические характеристики, условные графические обозначения с цоколевками выводов и габаритно-установочными размерами. Кроме того, приведены основные требования по оформлению схем электрических принципиальных и перечней элементов.

1. ОБЩИЕ ВОПРОСЫ, РЕШАЕМЫЕ ПРИ ПРОЕКТИРОВАНИИ БЕСКONTAKTНЫХ СХЕМ УСТРОЙСТВ АВТОМАТИКИ

1.1. Расчетно-пояснительная записка (РПЗ) проекта в части разработки бесконтактного варианта системы управления и регулирования должна содержать следующие разделы:

- 1) разработка структурной схемы и описание ее составных частей;
- 2) выбор и обоснование электрорадиоизделий;
- 3) расчетная часть;
- 4) разработка схемы электрической принципиальной и описание по ней принципа работы устройства автоматики.

1.2. В разделе "Разработка структурной схемы" необходимо выбрать основные узлы, обеспечивающие выполнение поставленной задачи по автоматическому управлению разрабатываемого устройства.

Кроме того, необходимо определить входные и выходные параметры каждого функционального узла.

Рекомендуемая для применения структурная схема представлена на рис. 1, которая содержит следующие составные части:

- 1) коммутационный узел входных команд с использованием различных переключающих устройств, например тумблеров или переключателей (SA), коммутационных кнопок (SB), конечных выключателей (SQ), контактов тепловых реле (KK) и т.д.;
- 2) узел управления триггерной схемой с использованием комбинационных интегральных микросхем с логикой "И", "И-НЕ", "ИЛИ", "ИЛИ-НЕ";
- 3) триггерный узел, заменяющий реле с самоблокировкой в контактных схемах устройств автоматики;
- 4) предварительный транзисторный усилитель, согласующий слабые выходные токи микросхем с достаточно большими входными токами мощных бесконтактных оптоэлектронных ключей;
- 5) узел мощных бесконтактных электронных ключей, коммутирующих мощные нагрузки постоянного или переменного тока;
- 6) узел стабилизированного напряжения питания, включающий в себя силовой трансформатор (TV), выпрямитель, собранный на полупроводниковых диодах (DV), сглаживающий RS или LC - фильтр и стабилизатор напряжения, выполненный на интегральной микросхеме 142 серии. В процессе проектирования источника стабилизированного напряжения питания необходимо определить величину напряжения вторичной обмотки силового трансформатора и ток, протекающий по ней.

1.3. При выборе и обосновании электрорадиоизделий необходимо привести основные характеристики не менее двух вариантов для каждого типа ЭРИ, по которым обосновать выбор одного используемого варианта.

В табл. 1-6 приведены технические характеристики рекомендуемых для применения ЭРИ соответственно:

- в табл. 1 - транзисторов 2T608A;
- в табл. 2 - матриц транзисторных 1HT251A;
- в табл. 3 - тиристорных оптронов Т0125 и 2T0132;
- в табл. 4 - интегральных стабилизаторов напряжения 142ЕН5А и 142ЕН6А;

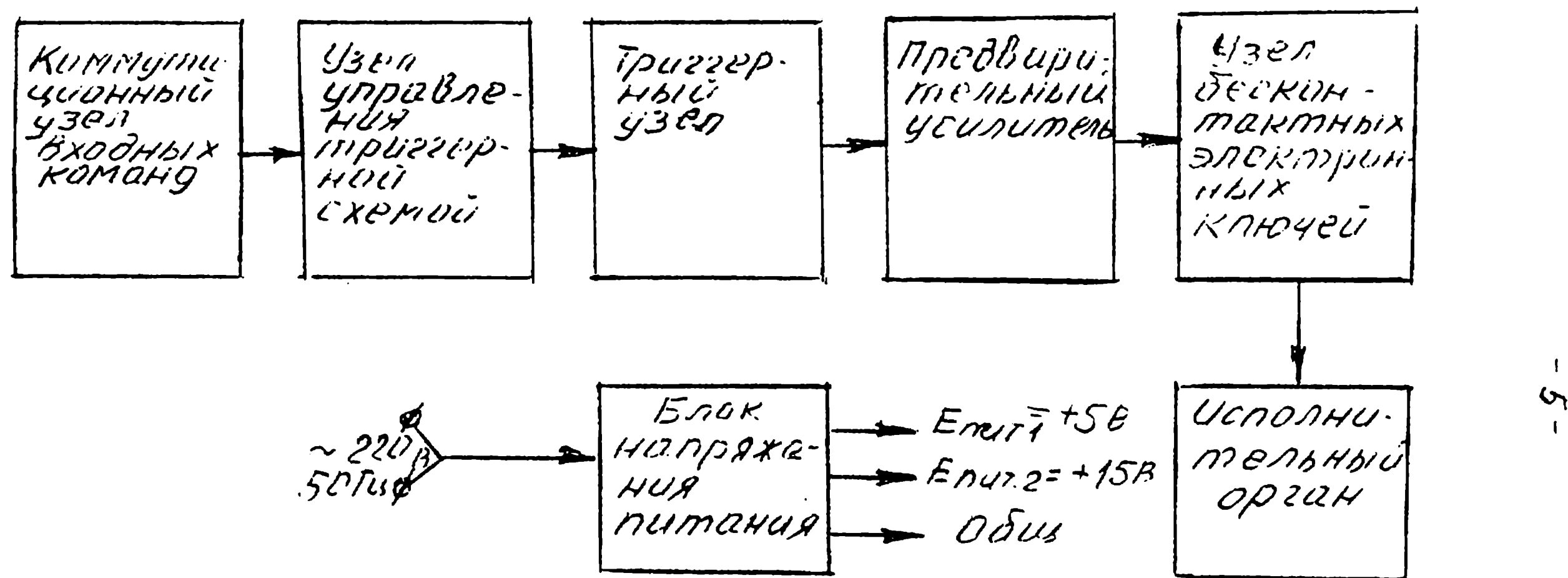


Рис.1 Структурная схема устройства
автоматики

в табл. 5 - резисторов постоянных непроволочных С2-23,
С2-10 и прецизионных С2-29;

в табл. 6 - комбинационных микросхем серий К155, К555,
К530(К531), КР1533, К564.

Таблица 1
Основные технические характеристики транзистора
2T608А И93.365.013.ТУ

| Наименование параметра | Букв. обозн. | Едини- ницы измер. | Тип транзистора |
|---|---------------|--------------------|-----------------|
| | | | 2T608A |
| 1. Обратный ток коллектора | I_{CBO} | мкА | ≤ 10 |
| 2. Статистический коэффициент усиления | β | | 25-80 |
| 3. Напряжение коллектор-эмиттер (насыщение) | $U_{CE(sat)}$ | В | ≤ 1 |
| 4. Максимальное напряжение | U_{KE} | В | 60 |
| 5. Максимально допустимый ток коллектора | $I_{C max}$ | мА | 400 |
| 6. Максимально допустимый импульсный ток коллект. | I_C | мА | 800 |
| 7. Максимально допустимая мощность коллектора | $P_{C max}$ | Вт | 0,5 |

Таблица 2
Основные технические характеристики матрицы
транзисторной 1НТ251 И93.456.000ТУ

| Наименование параметра | Букв. обозн. | Единицы измер. | 1НТ231А |
|--|--------------|----------------|---------|
| 1. Обратный ток коллектора | I_{CBO} | мкА | ≤10 |
| 2. Статистический коэффициент усиления | β | - | 30-150 |
| 3. Напряжение между коллектором и эмиттером в режиме насыщения | U_{ces} | В | ≤1 |
| 4. Напряжение между базой и эмиттером | U_{bes} | В | ≤1,5 |
| 5. Максимально допустимое напряжение между коллектором и эмиттером | U_{cem} | В | 45 |
| 6. Максимально допустимый ток коллектора | I_{cm} | мА | 100 |

Таблица 3
Технические характеристики оптотиристоров

| Тип оптотириста | I_{ex} , мА пост. тока | $I_{вых}$, А перемен. ток, средний | U_{cd} , В на свето- диоде | $U_{вых}$, В (эффект.) |
|------------------------|-----------------------------|---|------------------------------------|----------------------------|
| TO 125 - 12,5 -6-3 | | | | |
| ТУ 16-529-933 -82 | 80 | 12,5 | 2 | 600 |
| TO 125 - 10 -6-3 | | | | |
| ТУ 16-529-933 -82 | 80 | 10 | 2 | 600 |
| TO 125 - 12,5 -10-3 | 80 | 12,5 | 2 | 1000 |
| TO 125 - 10 -10-3 | 80 | 10 | 2 | 1000 |
| СТО 132 - 25 -6 | | | | |
| ГУК - 432.051 -84 | 100 | 25 | 1,75 | 600 |
| СТО 132 - 25 -10 | 100 | 25 | 1,75 | 1000 |
| СТО 132 - 40 -6 | 100 | 40 | 1,75 | 600 |
| СТО 132 - 40 -10 | 100 | 40 | 1,75 | 1000 |

Таблица 4
Технические характеристики интегральных
стабилизаторов напряжения 142ЕН5А и 142ЕН6А

| Параметр | Норма | |
|---------------------------------------|-------------------------|--|
| | 142ЕН5А | 142ЕН6А |
| 1. Входное напряжение, В | $(2-2,5) \cdot U_{вых}$ | $+ (1,5 \div 2)U_{вых}$ $- (1,5 \div 2)U_{вых}$ |
| 2. Выходное напряжение, В | 4,9 - 5,1 | $+ (14,7 \div 15,3)$ $- (14,7 \div 15,3)$ |
| 3. Ток потребления, мА | ≤ 10 | ≤ 18 |
| 4. Нестабильность по напряжению, %, В | 0,05 | 0,003 |
| 5. Нестабильность по току, %, А | 1,0 | 1,0 |
| 6. Ток нагрузки, А | 1,2 | 0,2 |

Таблица 5
Технические характеристики популярных резисторов
С2-23, С2-10, С2-29В постоянных непроволочных

| Тип, ТУ | $P_{доп}, Вт$ | R, Ом (диапазон) | Допуск. откл., % | Размер, | | ТКС, $1/^\circ\text{C}$ |
|--------------------------------|---------------|--|---------------------|---------|-------|-------------------------|
| | | | | диам. | длин. | |
| С2-23 ОЖО- 467- 081ТУ | 0,062 | $10-0,511 \cdot 10^6$ | ± 5 | 1,6 | 4,6 | |
| | 0,125 | $24-2 \cdot 10^6$ | ± 10 | 2 | 6 | |
| | 0,25 | $24-3 \cdot 10^6$ | | 3 | 7 | |
| | 0,5 | $24-5,1 \cdot 10^6$ | | 4,2 | 10,8 | $\pm 100 \cdot 10^{-6}$ |
| | 1,0 | $24-10 \cdot 10^6$ | | 6,6 | 13 | |
| | 2,0 | $24-10 \cdot 10^6$ | | 8,6 | 18,5 | |
| | | Промежуточные значения см. примеч. 1 | | | | |
| С2-10 ОЖО- 467- 072ТУ | 1,125 | 10-9880 | $\pm 0,5$ | 2 | 6 | |
| | 0,25 | 1-9880 | ± 1 | 3 | 7 | |
| | 0,5 | 1-9880 | | 4,2 | 10,8 | |
| | 1,0 | 1-9880 | | 6,6 | 13 | $\pm 200 \cdot 10^{-6}$ |
| | 2,0 | 1-9880 | | 8,6 | 18,5 | |
| | | Промежуточные значения см. примеч. 3 | | | | |
| | | | | | | |
| С2-29В ОЖО- 467- | 0,062 | $10-0,511 \cdot 10^6$ | | 2,3 | 6,5 | |
| | 0,125 | $1-1 \cdot 10^6$ | см. при- меч. 3 | 3,5 | 8 | |
| | 0,25 | $1-5,11 \cdot 10^6$ | | 4,5 | 11 | |
| | 0,5 | $1-5,11 \cdot 10^6$ | | 7,5 | 14 | $\pm 25 \cdot 10^{-6}$ |
| | 1,0 | $1-8,56 \cdot 10^6$ | | 9,8 | 20 | |
| | 2,0 | $1-20 \cdot 10^6$ | | 9,8 | 28 | |
| | | Промежуточные значения см. примеч. 2 | | | | |

Примечания

1. Промежуточные значения сопротивления резисторов С2-23 по ГОСТ 2825-67 ряд Е24

(1,0; 1,1; 1,2; 1,3; 1,5; 1,6; 1,8; 2,0; 2,2; 2,4; 2,7; 3,0;
3,3; 3,6; 3,9; 4,3; 4,7; 5,1; 5,6; 6,2; 7,5; 8,2; 9,1)×10ⁿ,
где n - числа: 1, 2, 3, 4, 5, 6.

2. Промежуточные значения сопротивления резисторов С2-29 по ГОСТ 2825-67 ряд Е192 (в т.ч. выделены знаком *)

3. Промежуточные значения сопротивления резисторов С2-10 по ГОСТ 2825-67 соответствуют ряду Е96 (см. выделенные знаком * числа из ряда Е192).

100*, 101, 102*, 104, 105*, 106, 107*, 109, 110*, 111, 113*,
114, 115*, 117, 118*, 120, 121*, 123, 124*, 126, 127*, 129,
130*, 132, 133*, 135, 137*, 138, 140*, 142, 143*, 145, 147*,
149, 150*, 152, 154*, 156, 158*, 160, 162*, 164, 165*, 167,
169*, 172, 174*, 176, 178*, 180, 182*, 184, 187*, 189, 191*,
193, 196*, 198, 200*, 203, 205*, 208, 210*, 213, 215*, 218,
221*, 223, 226*, 229, 232*, 234, 237*, 240, 243*, 246, 249*,
252, 255*, 258, 261*, 264, 267*, 271, 274*, 277, 280*, 284,
287*, 291, 294*, 298, 301*, 305, 309*, 312, 316*, 320, 324*,
328, 332*, 336, 340*, 344, 348*, 352, 357*, 361, 365*, 370,
374*, 379, 383*, 388, 392*, 397, 402*, 407, 412*, 417, 422*,
427, 432*, 437, 442*, 448, 453*, 459, 464*, 470, 475*, 481,
487*, 493, 499*, 505, 511*, 517, 523*, 530, 536*, 542, 549*,
556, 562*, 569, 576*, 583, 590*, 597, 604*, 612, 619*, 626,
636*, 642, 649*, 657, 665*, 673, 681*, 690, 698*, 706, 715*,
723*, 732*, 741, 750*, 759, 768*, 777, 787*, 796, 806*, 816,
825*. 835, 845*, 856, 866*, 876, 887*, 898, 909*, 920, 931*,
942, 953*, 965, 976*, 988)×10ⁿ, где n = -2, -1, 1, 2, 3, 4, 5.

4. Пределы отклонения сопротивления от номинального значения резисторов С2-29B зависят от номинального значения величины сопротивления:

для R = 1 - 10 Ом отклонения составляют ±0,5 и ±1%;

10<R<100 Ом - ±0,25; ±0,5 и ±1%;

100<R<100 кОм - ±0,05; ±0,1; ±0,25; 0,5 и ±1%;

100кОм<R<1 МОм - ±0,1; ±0,25; ±0,5; ±1%;

1МОм<R - ±0,25; ±0,5; ±1%.

Таблица 6

Основные технические характеристики комбинационных микросхем

| Параметр, характеристика | Стан- дартные ИМС K155 | Маломощ- ные с диодами Шотки K555 | Быстро- дейст- вующие с дио- дами Шотки K530, K531 | Маломощные усовершен- ствованные с диодами Шотки KP1533 | КМОП, K564 |
|---|---------------------------------|---|---|--|--------------------------------|
| 1 | 2 | 3 | 4 | 5 | 6 |
| $I_{\text{вх}}^{\text{0}}$ - (входной ток низкого уровня), мА | $\leq 1,6$ | $\leq 0,4$ | ≤ 2 | $\leq 0,1$ | $\leq 0,05$ мкА |
| $I_{\text{вх}}^{\text{1}}$ - (входной ток высокого уров- ня), мА | $\leq 0,04$ | $\leq 0,04$ | $\leq 0,05$ | $\leq 0,02$ | $\leq 0,05$ мкА |
| $I_{\text{вых}}^{\text{0}}$ - (выходной ток низкого уровня), мА | ≤ 16 | ≤ 4 | ≤ 20 | ≤ 4 | $\leq 0,25$ |
| $I_{\text{вых}}^{\text{1}}$ - (выходной ток высокого уровня), мА | $\geq 0,4$ | $\geq 0,4$ | ≥ 1 | $\geq 0,4$ | $\geq 0,25$ |
| Нагрузочная спо- собность микро- схем аналогично- го типа, шт. | 10 | 10 | 10 | 10 | 40 |
| $U_{\text{вх}}^{\text{0}}$ - (входное напряжение низ- кого уровня), В | $\leq 0,4$ | $\leq 0,4$ | $\leq 0,5$ | $\leq 0,4$ | $\leq 0,95$ при $E_D=5V$ |

Продолжение табл. 6

| | | | | 5 | 6 |
|--|-------|------|------|-------|--|
| $U_{\text{ых}}^+$ (выходное напряжение высокого уровня). В | 5,4 | 5,5 | 5,5 | 5,5 | 2,9 при $E_D=5V$ |
| $U_{\text{ых}}^+$ (выходное напряжение низкого уровня). В | 40,4 | 40,4 | 40,5 | 40,4 | 27,2 при $E_D=10V$ 40,95 при $E_D=5V$ 42,9 при $E_D=10V$ 43,6 при $E_D=5V$ |
| $U_{\text{ых}}^+$ (выходное напряжение высокого уровня). | 42,4 | 42,5 | 42,5 | 42,5 | 27,2 при |
| T_d -задержки (время задержки), НС | 418,5 | 400 | 35 | 414 | 4160 |
| Частота переключения, МГц | 415 | 425 | 475 | 480 | - |
| E_D (напряжение питания). В | 5±5% | 5±5% | 5±5% | 5±5% | от 3 до 15 для K564, K561 и 3 для K176 |
| $I_{\text{пот}}$ (ток потребляемый, максимальный), мА | 415 | 43 | 426 | 41,91 | 40,17 |

Примечание. Величина тока потребления $I_{\text{пот}}$ дана на один базовый элемент комбинационных микросхем К156, К555, К530(К531), КР 1533, К564.

В прил. 1
микросхем соответственно:

на рис. 1-10 приведены цоколевки

на рис. 1 КМОП технологии логики ЗИ, ЗИ с отдельным инвертором;

на рис. 2 - ТТЛ технологии логики ЗИ, ЗИ, 4И;

на рис. 3 - ТТЛШ технологии логики ЗИ, ЗИ, 4И;

на рис. 4 - КМОП технологии логики ЗИ-НЕ, ЗИ-НЕ, ЗИ-НЕ;

на рис. 5 - ТТЛ технологии логики ЗИ-НЕ, ЗИ-НЕ, 4И-НЕ, ЗИ-НЕ;

на рис. 6 - ТТЛШ технологии логики ЗИ-НЕ, ЗИ-НЕ, 4И-НЕ, ЗИ-НЕ;

на рис. 7 - КМОП технологии логики ЗИЛИ-НЕ, ЗИЛИ-НЕ с отдельным инвертором, 4ИЛИ-НЕ

на рис. 8 - ТТЛ технологии логики ЗИЛИ-НЕ, ЗИЛИ-НЕ, 4ИЛИ-НЕ;

на рис. 9 - ТТЛШ технологии логики ЗИЛИ-НЕ, ЗИЛИ-НЕ;

на рис. 10, а - ТТЛ технологии логики 2ИЛИ;

на рис. 10, б - ТТЛШ технологии логики 2ИЛИ.

В прил. 2 на рис. 1 и 2 приведены цоколевки RS-триггеров соответственно типов К555ТР2 и К561ТР2, а в табл. 1 и 2 указанного приложения приведены таблицы истинности этих триггеров. На рис. 1 прил. 3 приведено условное графическое обозначение, а на рис. 2 указанного приложения приведены габаритные размеры кремниевого транзистора п-р-п проводимости типа 2Т608А И93.365.013 ТУ.

На рис. 3 прил. 3 приведено условное графическое обозначение, а на рис. 4 указанного приложения - габаритные размеры матрицы транзисторной типа 1НТ251А И93.456.000 ТУ.

На рис. 1 и 2 прил. 4 приведены соответственно габаритные размеры тиристорных оптронов Т0125 и 2Т0132.

На рис. 1 и 2 прил. 5 приведены соответственно схемы включения и условные графические обозначения интегральных стабилизаторов напряжения 142ЕН5А и 142ЕН6А.

1.4. В расчетной части РПЗ должны быть приведены расчеты электрических параметров ЭРИ, на которые имеются предельно допустимые ограничения как в максимальную, так и в минимальную стороны, и по этим параметрам рассчитать величины сопротивлений, обеспечивающие требуемые режимы работы. При проектировании схемы управления с использованием интеграль-

ных микросхем следует учитывать, что у микросхем бывают как стандартные нагрузки (оговариваемые в технических условиях или паспортах), так и нестандартные (неоговариваемые в технических условиях и паспортах). Однако величины входных токов нестандартных нагрузок не должны превышать величины входных токов стандартных нагрузок. К стандартным нагрузкам интегральных микросхем относятся входы других микросхем аналогичных серий. При этом необходимо выполнять следующие требования:

- 1) на каждый выход ТТЛ, ТТЛШ микросхем допускается подключать не более 10 входов микросхем аналогичных серий;
 - 2) на выход КМОП микросхемы - более 20 входов таких же микросхем;
 - 3) не рекомендуется оставлять незадействованными входы микросхем ТТЛ(ТТЛШ) технологии, их необходимо подключать к шине +5В через резистор с величиной сопротивления 1 кОм.;
 - 4) запрещается оставлять незадействованными входы микросхем КМОП технологии, их следует подключать к плюсовой шине питания через резистор с величиной сопротивления 10 кОм.

К нестандартным нагрузкам интегральных микросхем относятся, например входы транзисторных усилителей с использованием, как правило, транзисторов с n-p-n проводимостью. На рис. 2 приведена схема подключения базовой цепи транзистора к выходу микросхемы.

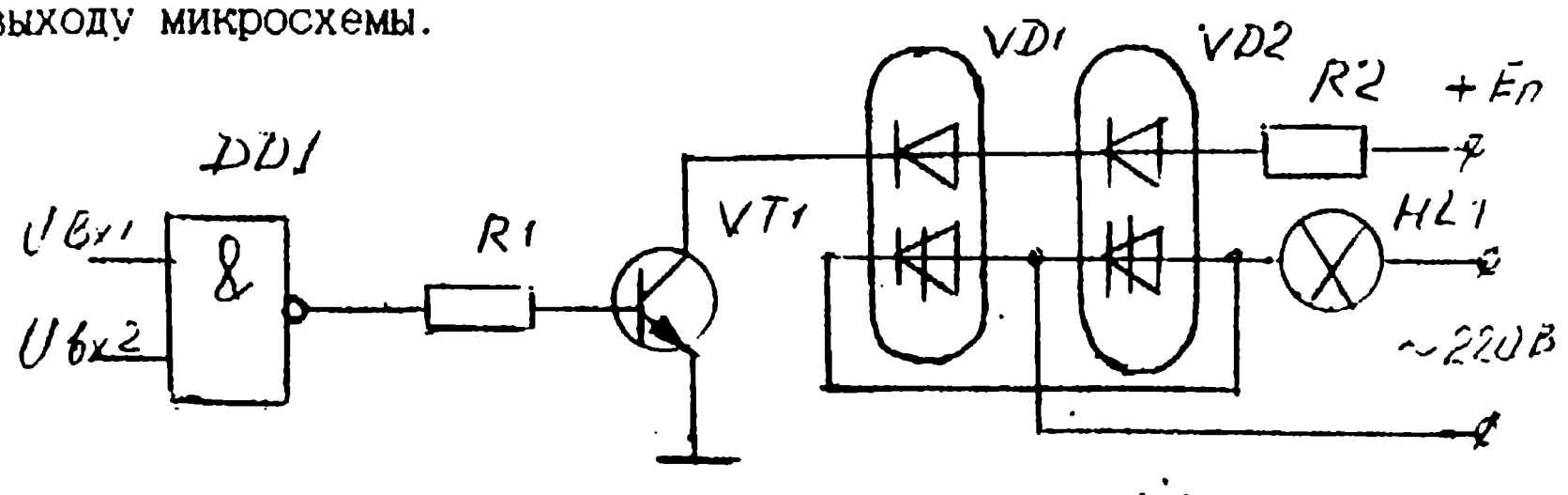


Рис. 2. Схема подключения транзистора к выходу микросхемы

Электронный архив УГЛТУ

Транзистор VT1 будет открыт, когда на выходе микросхемы DD1 установится сигнал $U_{\text{вых}}$ (уровня логической "1"). Коэффициент усиления по току в транзисторного усилителя с общим эмиттером равен $\beta = \frac{I_k}{I_b}$, при этом необходимо учитывать, что

ток базы транзистора должен быть достаточной величины для полного его насыщения (открывания) и в то же время он не должен превышать максимально допустимой величины выходного тока $I'_{\text{вых}}$ микросхемы (при $U'_{\text{вых}}$). Необходимая величина тока базы обеспечивается резистором R1, сопротивление которого определяется выражением

$$R1 = \frac{U'_{\text{вых}} - U_{b\beta}}{I_b},$$

где $U_{b\beta}$ - напряжение участка база-эмиттер кремниевого транзистора величиной 0,7В.

Достаточность тока базы транзисторного усилителя для обеспечения насыщения транзистора VT1 определяется выражени-

$$\text{ями: } I_b > \frac{I_{k \text{ нас}}}{\beta_{\min}}, \text{ где } I_{k \text{ нас}} = \frac{E_{\text{пит}} - 2U_{c\beta} - U_{k\beta \text{ нас}}}{R2},$$

где $I_{k \text{ нас}}$ - ток коллектора в режиме насыщения. Этот ток не должен быть больше максимально допустимой величины $I_{k \text{ max}}$ для выбранного типа транзистора;

β_{\min} - минимальная величина коэффициента усиления (по току) выбранного типа транзистора;
 $U_{k\beta \text{ нас}}$ - напряжение между коллектором и эмиттером открытого транзистора (величина такого напряжения для кремниевых транзисторов составляет от 0,5 до 1В);

$R2$ - сопротивление нагрузки в цепи коллектора. Это сопротивление определяет величину тока $I_{k \text{ нас}}$, значит определяет необходимую величину тока светодиодов элементов VD1, VD2.

Ввиду того что выходные токи $I'_{\text{вых}}$ у микросхем имеют небольшие величины (табл. 6), для полного насыщения

(открывания) транзистора порой не хватает его коэффициента усиления β_{min} . Для обеспечения достаточной величины коэффициента усиления в используют так называемый "составной транзистор", когда вместо одного транзистора подключают к выходу микросхемы два транзистора. Общий коэффициент усиления "составного транзистора" будет определяться приблизительно произведением двух транзисторов $\beta_{сост} = \beta_1 \cdot \beta_2$. На рис. 3 приведена схема с обтим эмиттером с использованием "составного транзистора" обозначенного пунктирной линией.

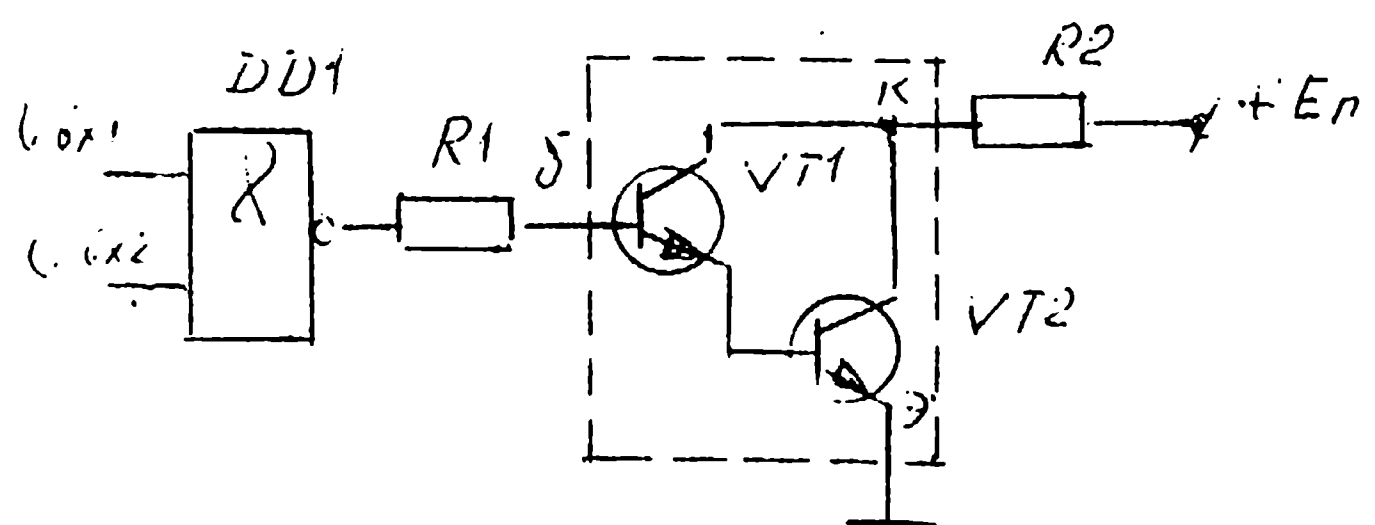


Рис. 3. Схема усиления с использованием
"составного транзистора"

1.5. При разработке схемы электрической принципиальной устройства автоматики следует учитывать, что узел управления с использованием комбинационных микросхем проектируется либо на КМОП, либо на ТТЛ (ТТЛШ) технологии. Предпочтение обычно отдается КМОП технологии **ввиду** малого потребления тока $I_{потреб}$ (см. табл. 6). Допускается также и смешанное использование КМОП и ТТЛ(ТТЛШ) микросхем, но при этом необходимо обеспечить согласование перехода от КМОП к ТТЛ(ТТЛШ) микросхемам и наоборот с помощью специальных микросхем, называемых преобразователями уровней. Например, микросхема типа К176 ПУЗ согласовывает уровни сигналов КМОП с ТТЛ(ТТЛШ), а микросхема К564ПУб согласовывает уровни сигналов ТТЛ(ТТЛШ) с КМОП.

В прил. 6 приведены условные графические обозначения указанных микросхем с цоколевками выводов.

При использовании преобразователей уровней К17БПУЗ, К564 ПУБ следует учитывать, что они требуют два источника питания. Как уже упоминалось при описании структурной схемы, для управления работой триггерного узла используются комбинированные микросхемы логики "И", "ИЛИ", "И-НЕ", "ИЛИ-НЕ". Триггерный узел проектируется, как правило, на RS-триггерах. На "S" - входы (входы установки) подаются сигналы, обеспечивающие включение триггера. Учитывая, что сигналы управления работой RS-триггера могут быть импульсными, возникает необходимость в использовании преобразователей потенциальных сигналов, получаемых от срабатывания, например конечного выключателя (SQ), в импульсные. Для этой цели имеются специальные микросхемы, выполняющие функцию одновибраторов как в КМОП, так и в ТТЛ микросхемах. На рис. 4 приведено условное графическое обозначение и цоколевка выводов одновибратора КМОП типа К561 АГ1. В корпусе этой микросхемы имеются два независимых одновибратора с общим источником питания. Каждый одновибратор формирует на своем прямом выходе Q одиничный импульс уровня логической "1", а на инверсном выходе \bar{Q} - инверсный одиничный импульс. Длительность этих выходных импульсов τ_u одинаковая и зависит от величины внешних RC-элементов в соотношении $\tau_u = 0,5 \cdot R \cdot C$.

Микросхема К561 АГ1 имеет входы +TR и -TR. Вход +TR принимает только нарастающий перепад напряжения от состояния логического "0" к логической "1", а вход -TR принимает только спадающий перепад с уровня логической "1" на уровень логической "0". При этом неиспользуемые входы +T_E соединяют с общей шиной питания, а -T_E - с шиной питания +E_{пит} через резистор с величиной сопротивления (5-10)кОм. У микросхемы имеется вход R, который используют для запирания микросхемы в момент включения питания, исключающего несанкционированное формирование выходного импульса. На рис. 5 приведена схема формирования задержанного импульса с использованием одновибраторов одной микросхемы К564 АГ1. На рис. 6 приведены временные диаграммы формирования выходного импульса от воздействия нарастающего перепада на входе +TR1 и спадающего перепада на входе -TR2.

В бесконтактных схемах автоматики в качестве мощных

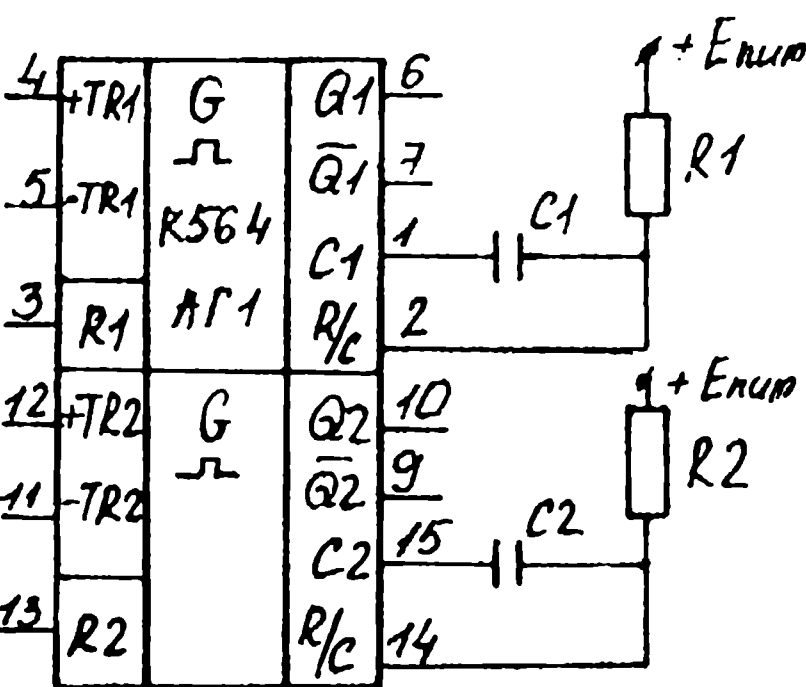


Рис. 4 Чертежи макета мультивибратора КМОП
микросхемы типа К564АГ1

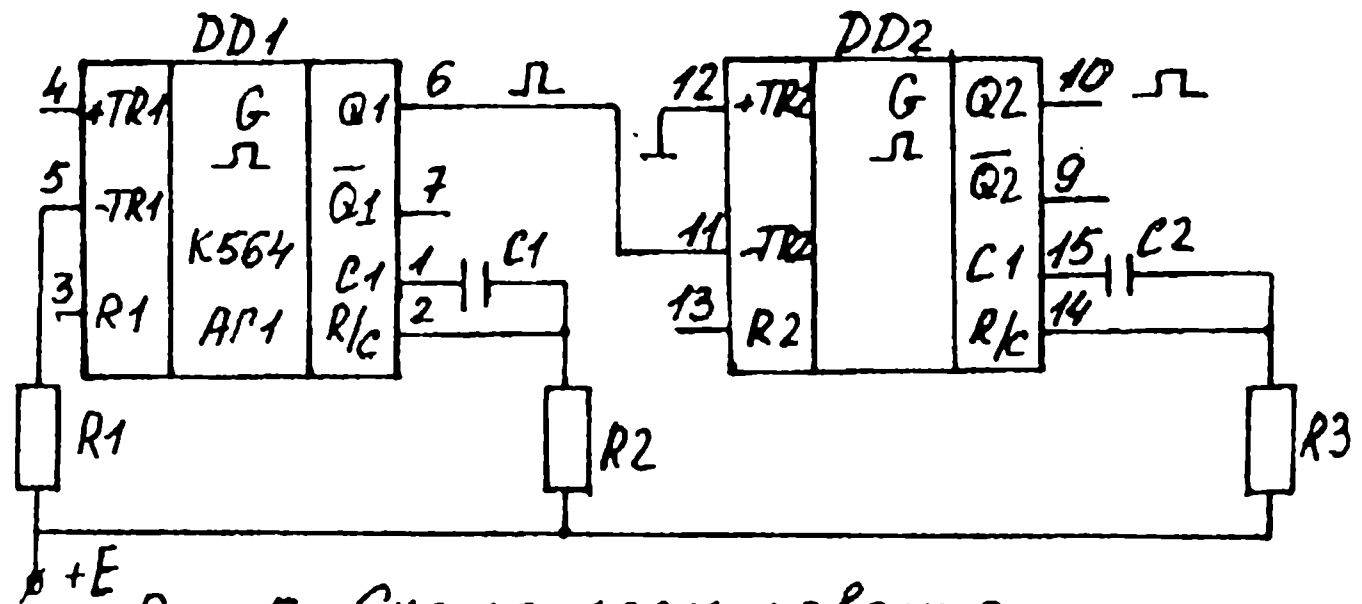


Рис. 5 Схема формирования
задержанного импульса

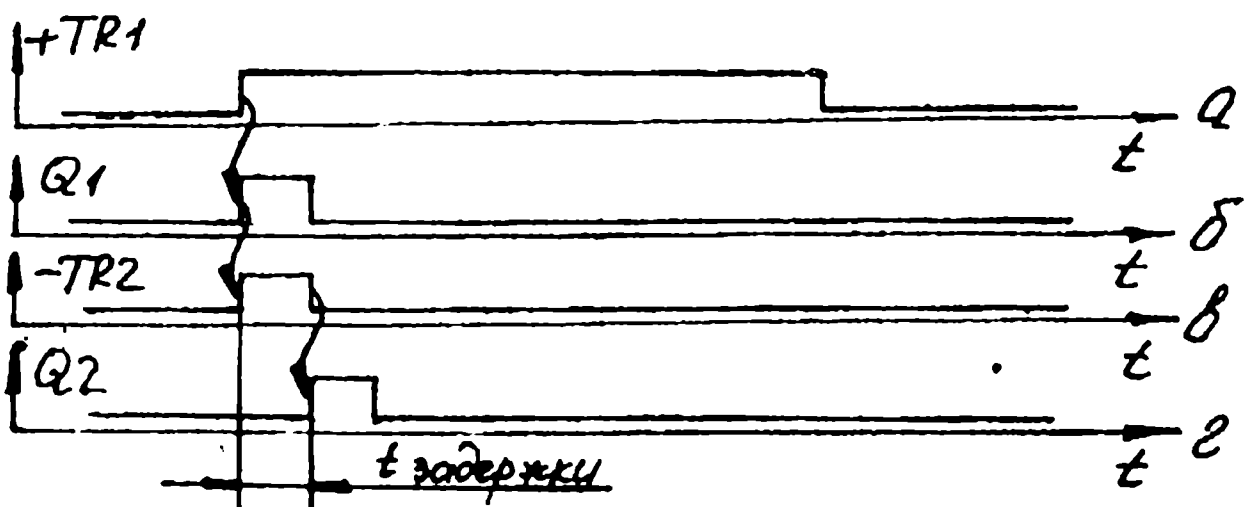


Рис. 6 Временные диаграммы
формирования задержанного импульса
схемой.

коммутационных элементов используются опто-тиристорные ключи, например типов ТО-125 и 2ТО-132, у которых входной сигнал (постоянный ток управления) составляет 80 - 100 мА, а величины выходных коммутируемых токов десятки ампер при напряжении до 1000 В переменного тока, позволяющие коммутировать электромагниты, 3-фазные электродвигатели т.д.

Указанные тиристорные оптраны обеспечивают кроме включения мощных нагрузок переменного тока еще гальваническую развязку дискретной части устройства автоматики от мощных силовых цепей.

В качестве излучающих элементов в них применены светодиоды, а в качестве фотоприемников - фототиристоры.

Условное графическое обозначение тиристорных оптранов VD приведено на рис. 2, а технические характеристики см. табл. 3.

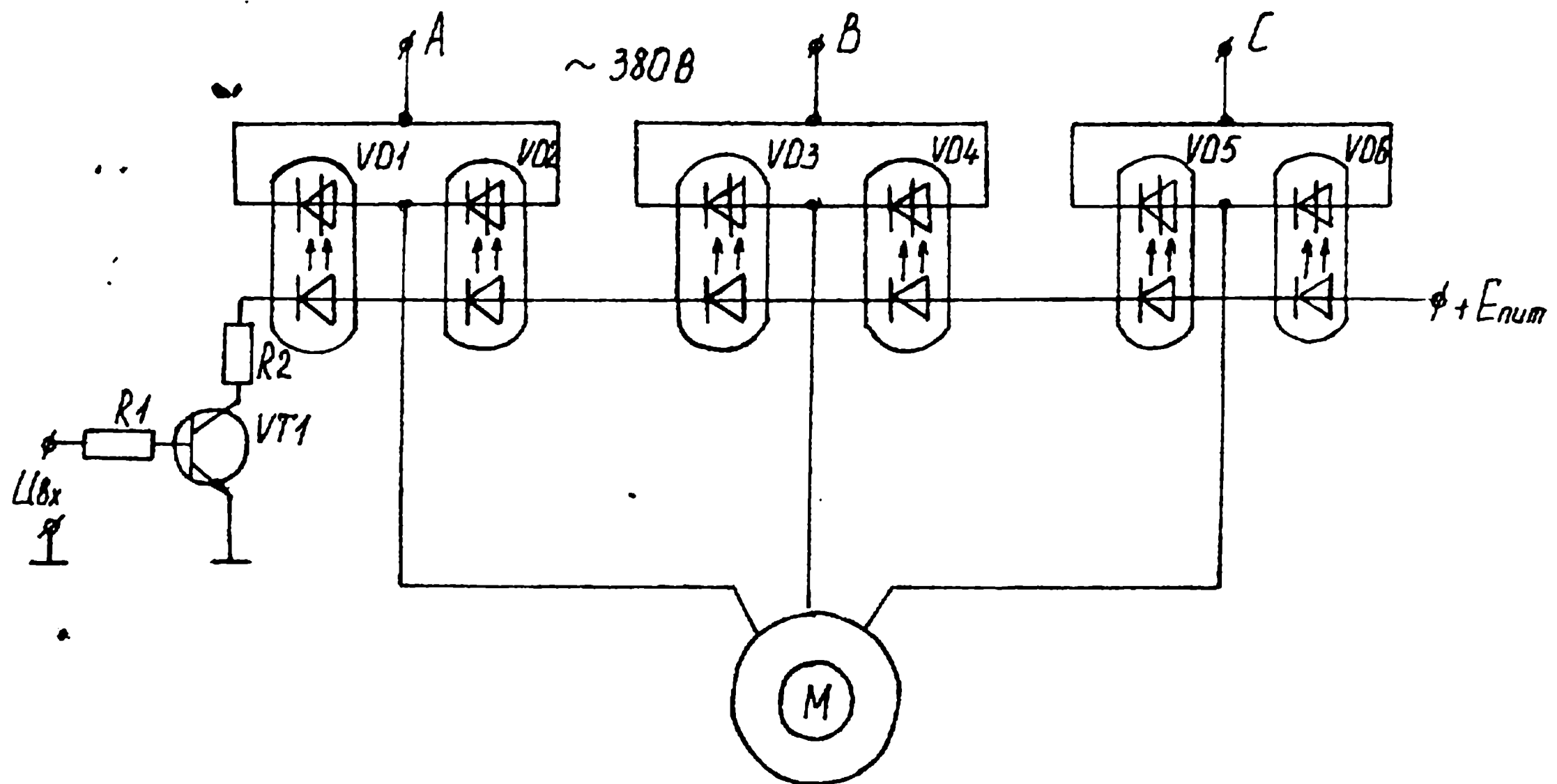
При протекании постоянного входного тока управления $I_{вх} = (80-100)\text{мА}$ через светодиод, последний освещает фототиристор, который открывает путь для протекания переменного тока через нагрузку только одной полуволны выходного коммутируемого напряжения.

Для обеспечения протекания обеих полуволн необходимо использовать два тиристорных оптрана, светодиоды которых соединяют последовательно друг с другом и с токозадающим резистором в коллекторной цепи транзисторного усилителя см. рис. 2. Фототиристоры включают встречно-параллельно, как показано на рис. 2.

Для коммутации статорных обмоток 3-фазных электродвигателей необходимо использовать три пары тиристорных оптранов, как показано на рис. 7.

Оптоцисторные переключатели переменного тока по сравнению с контактными элементами, например, магнитными пускателями, имеют явные преимущества, такие как:

- 1) высокая надежность в эксплуатации;
- 2) большой гарантированный ресурс (более 12 лет непрерывной работы);
- 3) малые габариты;
- 4) малая мощность управляющего сигнала по сравнению с весьма большой мощностью выходной нагрузки;



-21-

Рис. 7 Схема включения 3-фазного двигателя с использованием оптотиристорных ключей

$$R_1 = \frac{U_{Dx} - U_{S3}}{I_S} , \quad R_2 = \frac{E_{out} - 6 \cdot U_{ce} - U_{Dx}}{I_K} , \quad \text{где } I_K = I_{eg} = 80mA , \quad I_S = \frac{I_K}{\beta_{min}}$$

- 5) высокое быстродействие;
- 6) высокая устойчивость к механическим нагрузкам;
- 7) малая мощность потерь электроэнергии.

2. ОБЩИЕ ВОПРОСЫ ПРИ ПРОЕКТИРОВАНИИ БЕСКОНТАКТНЫХ СХЕМ УСТРОЙСТВ АВТОМАТИКИ

2.1. В процессе проектирования графическая часть должна состоять из схемы электрической принципиальной, выполненной на ватмане формата А1 и топологии печатной платы формата А2.

По принятой в Российской Федерации системе обозначения схемной, конструкторской и текстовой документации должны состоять из 13 буквенно-цифровых знаков. Пример условного обозначения документации устройства автоматики в целом и его составных частей приведены на рис. 8.

2.2. Правила оформления схемы электрической принципиальной.

Согласно требованию ГОСТ 2.701-84 (п. 2.4.2.) условные графические обозначения ЭРИ изображают в размерах, установленных в стандартах на условные графические обозначения.

Графические обозначения ЭРИ на схеме изображают линиями той же толщины, что и линии связи.

Линии связи должны состоять из горизонтальных и вертикальных отрезков и иметь наименьшее количество изломов и пересечений. Рекомендуемая толщина линий связи от 0,3 до 0,4 мм, расстояние между соседними линиями должно быть не менее 3 мм.

Все элементы схемы должны иметь позиционные обозначения. Порядковые номера позиционных обозначений ЭРИ должны быть присвоены сверху вниз в направлении слева направо, как показано на рис. 8.

Позиционные обозначения проставляют на схеме рядом с условными графическими обозначениями элементов сверху или с правой стороны (см. рис. 8).

Двухбуквенные и однобуквенные коды позиционных обозначений ЭРИ приведены в табл. 7.

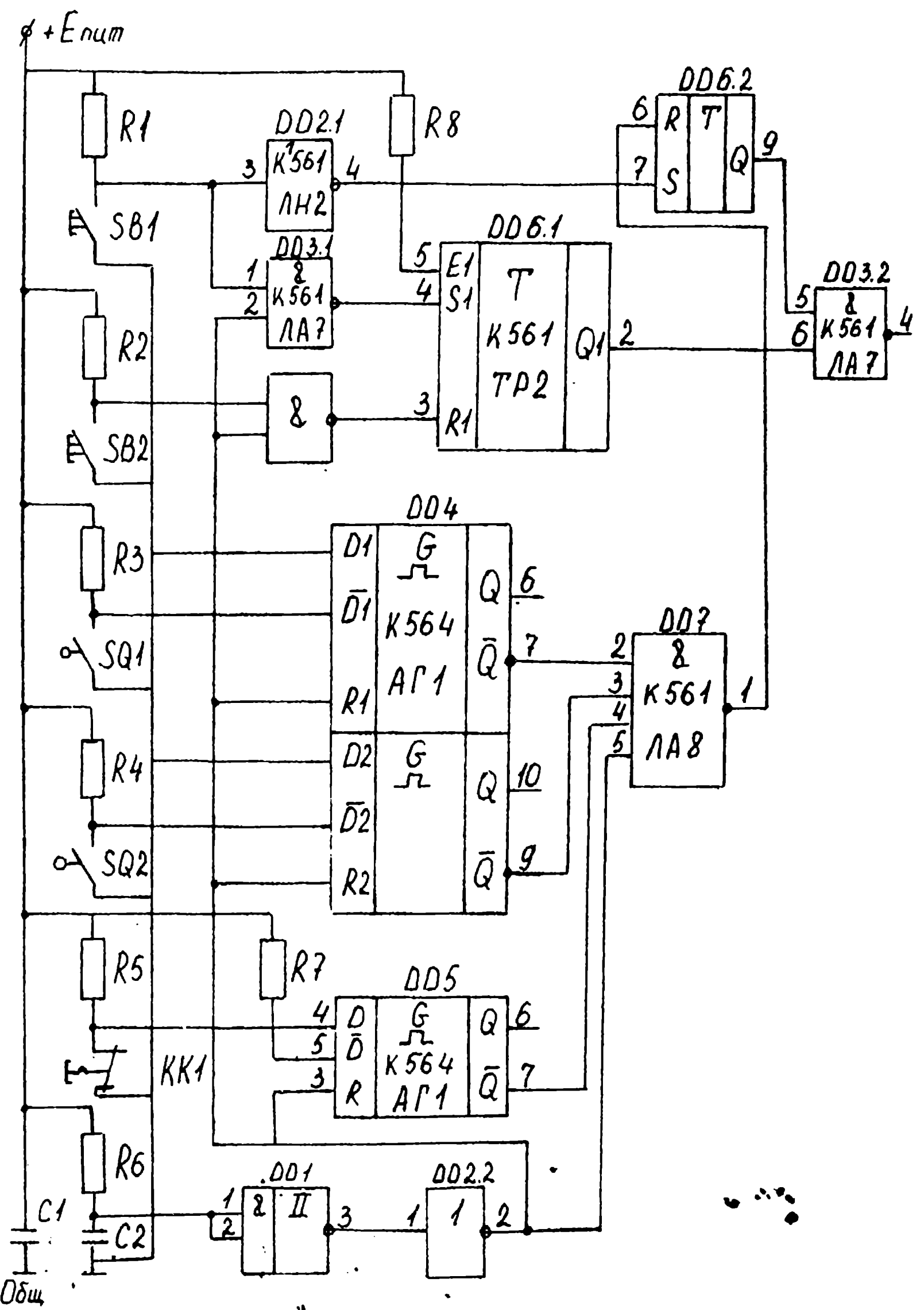


Рис. 8 Образец оформления схемы
электрической принципиальной

Условные графические обозначения микросхем имеют прямоугольную форму. Комбинационные микросхемы логики "И", "И-НЕ", "ИЛИ", "ИЛИ-НЕ" имеют соотношения сторон 2 к 3 (2 части - ширина, 3 - высота). Входы наносятся слева, выходы - справа, как показано на рис. 8. Условные графические обозначения микросхем допускается изображать повернутыми по часовой стрелке на 90° .

Выводы микросхем изображают на расстоянии 5 мм от края прямоугольника. Между выводами расстояние должно быть кратным 5, т.е. 5;10;15 мм и т.д.

Микросхемы с большей степенью интеграции, например, счетчики, одновибраторы и т.д. также имеют прямоугольную форму графического изображения (см. рис. 8).

Прямоугольник может состоять из трех полей (два крайних - дополнительные, центральное поле - основное). Ширина основного (центрального) и дополнительных полей определяются количеством буквенно-цифровых знаков, наносимых в этих полях. Левое дополнительное поле предназначено для обозначения входов микросхем, правое - для выходов.

Все входы и выходы микросхем должны быть пронумерованы (см. рис. 8).

Основное (центральное) поле предназначено для нанесения знака выполняемой функции и типа микросхемы (см. рис. 8).

2.3. Правила оформления перечня элементов

Перечень элементов оформляется в РПЗ на специальных формах, но допускается вносить перечень элементов в схему электрическую принципиальную на свободном месте над основной надписью (штампом) также в виде таблицы.

Образец перечня элементов приведен в табл. 8.

Таблица 7

Обозначения буквенно-цифровые в схемах электрических
(см. ГОСТ 710-81)

| | |
|----|---|
| A | Устройство, имеющее свою схемную документацию |
| BE | Сельсин-приемник |
| BC | Сельсин-датчик |
| BP | Датчик давления |
| BR | Датчик частоты вращения |
| BV | Датчик скорости |
| C | Конденсаторы |
| DA | Аналоговая микросхема |
| DD | Цифровая микросхема |
| EK | Нагревательный элемент |
| FU | Вставка плавкая |
| GB | Батарея |
| HA | Звуковой сигнализатор |
| HG | Индикатор символьный |
| HL | Индикатор световой |
| KA | Реле токовое |
| KK | Реле электротепловое |
| KM | Магнитный пускатель |
| KT | Реле времени |
| KV | Реле напряжения |
| L | Катушка индуктивности |
| PA | Амперметр |
| PC | Счетчик импульсов |
| PF | Частотомер |
| PR | Омометр |
| PS | Регистрирующий прибор |
| PT | Измеритель времени |
| PV | Вольтметр |
| PW | Вастметр |
| QF | Выключатель автоматический |
| R | Резистор |
| RK | Терморезистор |
| RP | Потенциометр |
| SA | Выключатель или переключатель |

Продолжение табл. 7

| | |
|----|--|
| SB | Выключатель кнопочный |
| SQ | Выключатель, срабатывающий от положения (путевой) |
| SR | Выключатель, срабатывающий от частоты вращения |
| TA | Трансформатор тока |
| TV | Трансформатор напряжения |
| VD | Диод, стабилитрон |
| VT | Транзистор |
| VS | Тиристор |
| XP | Штырь |
| XS | Гнездо |
| ХТ | Соединение разборное |
| УА | Электромагнит |
| M | Электродвигатель |

В графах таблицы перечня указывают следующие данные:

- 1) в графе "Поз. обозначение" - двухбуквенные позиционные обозначения ЭРИ в алфавитном порядке (латинского алфавита, см. табл. 7);
- 2) в графе "Наименование" - наименование ЭРИ.

При составлении перечня элементов в виде самостоятельного документа (при курсовом проектировании в РПЗ) в основной надписи указывают сначала наименование проектируемого изделия, например "Агрегат распиловки плит", а затем - "Перечень элементов" (см. табл. 8).

Если в схеме электрической принципиальной устройства поделено на модули (отдельные печатные платы), им присваивают позиционные обозначения символами А1, А2 и т.д., при этом запись ЭРИ в перечень, входящих в каждый модуль, начинают с наименования модуля, например "Модуль управления 1", которое записывают в графе "Наименование" перечня и подчеркивают. Ниже наименования модуля перечисляют позиционные обозначения ЭРИ, входящие в данный модуль. Использование одинаковых модулей упрощает проектирование топологии печатной платы.

Таблица 8
Образец перечня элементов

| Поз. обозн. | Наименование | Кол. Примеч. |
|--------------------------|---|--------------|
| A1,A2 | Блок Б19М1-1-2к0м ±10% ОЖО.205.018 ТУ | 2 |
| A6 | Алюминиевая матрица 2Д627А ДРЗ.454.000ТУ | 1 |
| A8 | Матрица транзисторная ИНТ251А | 1 |
| C1...C3 | Конденсатор КМ-БА-Н90-1.0мкФ3 ОЖО.460.061 ТУ | |
| C4 | Конденсатор К50-6-50-2000+ | |
| DA1 | Микросхема 140УД.20А БКО.347.004ТУ | 1 |
| DD1... | Микросхема 564 ЛА7. | |
| DD4 | БКО.347.064ТУ | 4 |
| FU1 | Вставка плавкая | 1 |
| M1 | Электрообогреватель | 1 |
| QF1 | Выключатель автома- тический | 1 |
| | | |
| | | |
| | | |
| ИЗМ. лист №01 дат | ЛАКП.000.001.121/193 | |
| Разраб. Петров Е - 1.098 | Агрегат распли- | Лист лист |
| Пробег. Чайков В - 3.098 | лодки пласт | 1 2 |
| Ихоняр. Выборг Г - 5.098 | Перечень эле- ментов | Координаты |
| Утв. бандк. | | АПЛ. УГЛТА |

Продолжение табл. 8

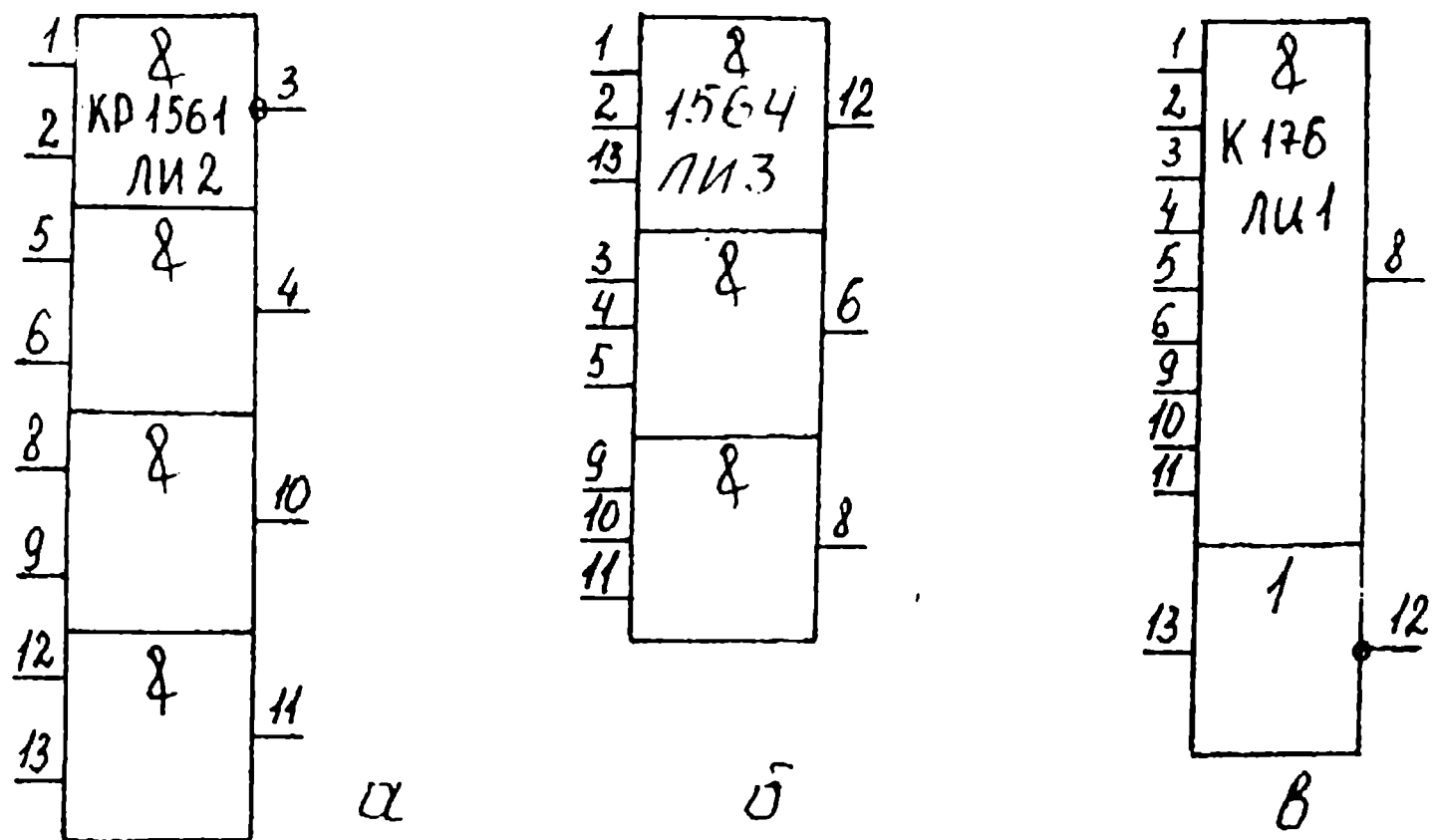


Рис. 1 Цоколевки микросхем КМОП-технологии
(+Епит-14, общ- 7 выводы)
а) 3-2И, 2И-НЕ; б) 3-3И; в) 9И, НВ

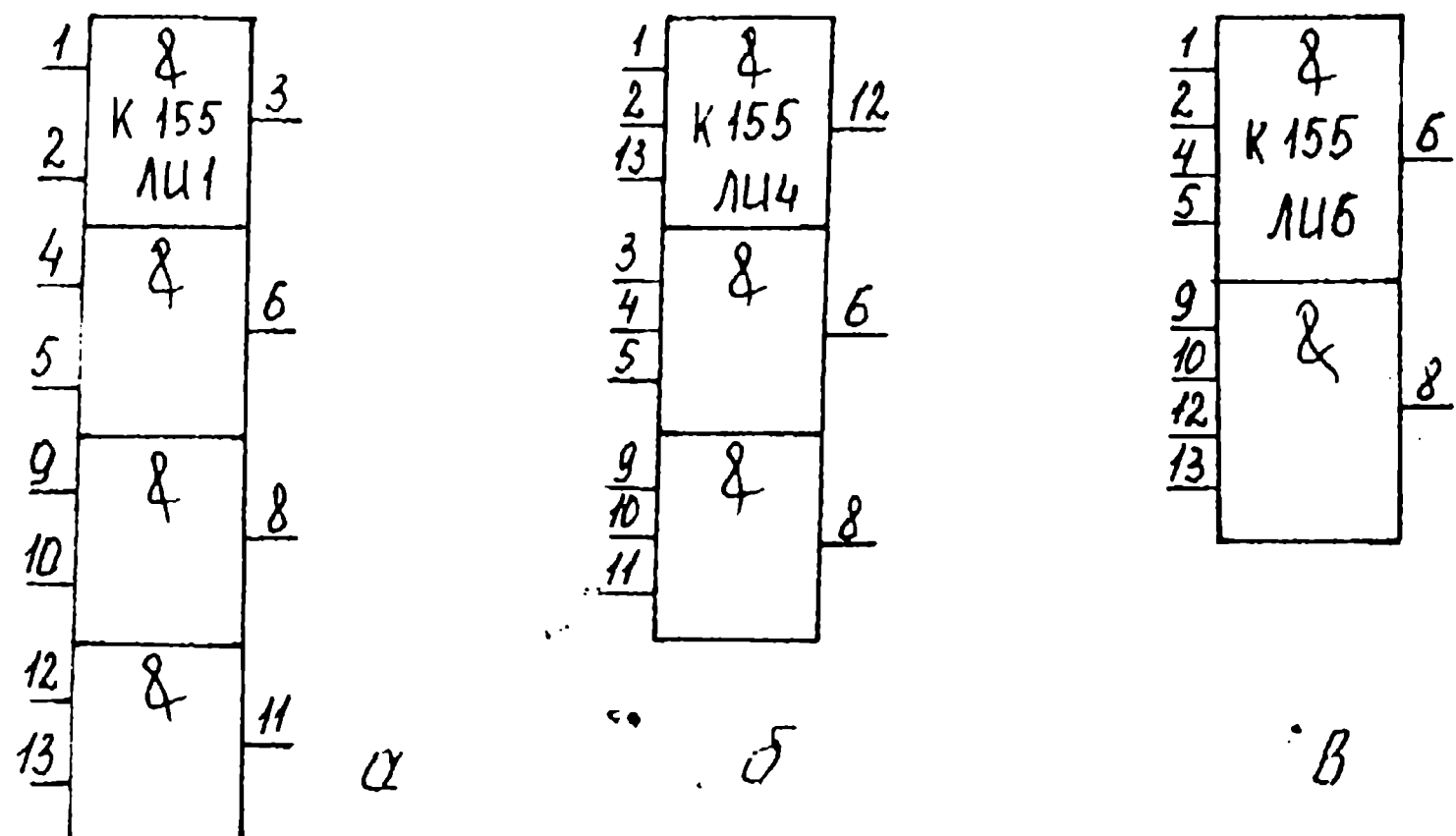


Рис. 2 Цоколевки микросхем ТТЛ-
технологии (+Епит-14, общ- 7 выводы)
а) 4-2И; б) 3-3И; в) 2-4И

Продолжение прил. 1

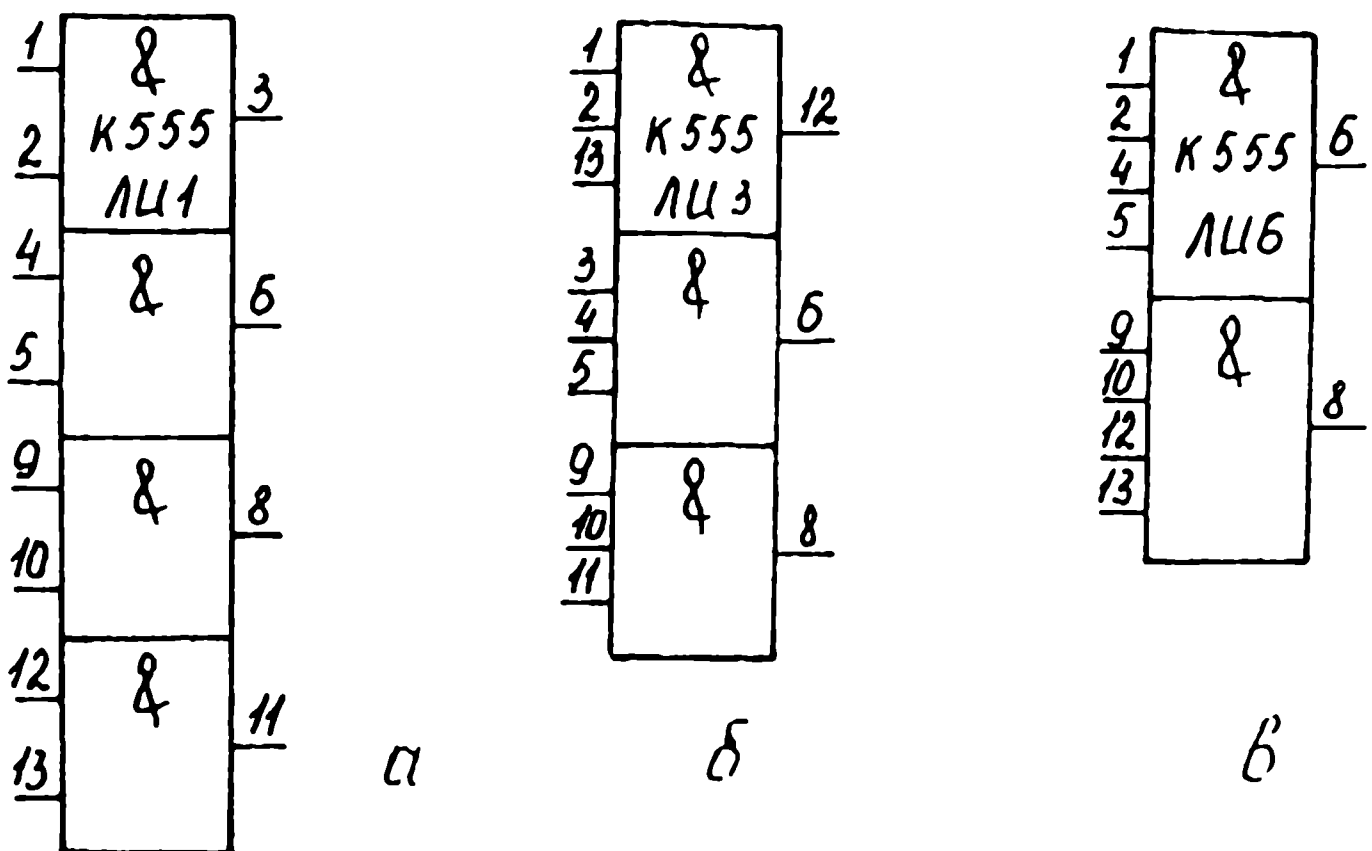


Рис. 3 Цоколевки микросхем ТТЛШ-технологии
(+Епим.-14, общ.-7 выводы)
а) 4-2Ц; б) 3-3Ц; в) 2-4Ц

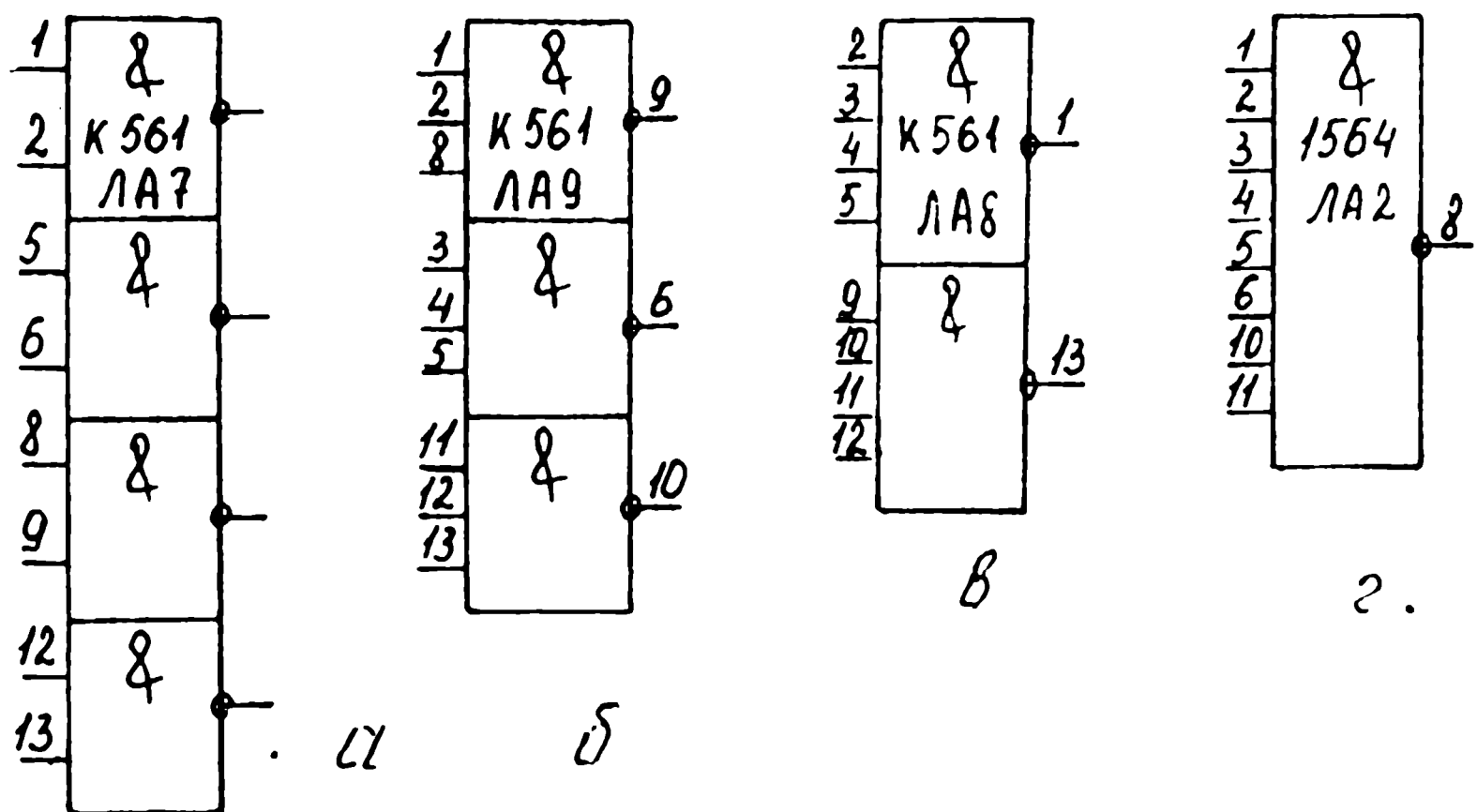


Рис. 4 Цоколевки микросхем КМОП-технологии
(+Епим.-14, общ.-7 выводы)
а) 4-2Ц-НР; б) 3-3Ц-НР; в) 2-4Ц-НР; г) 8Ц-НР

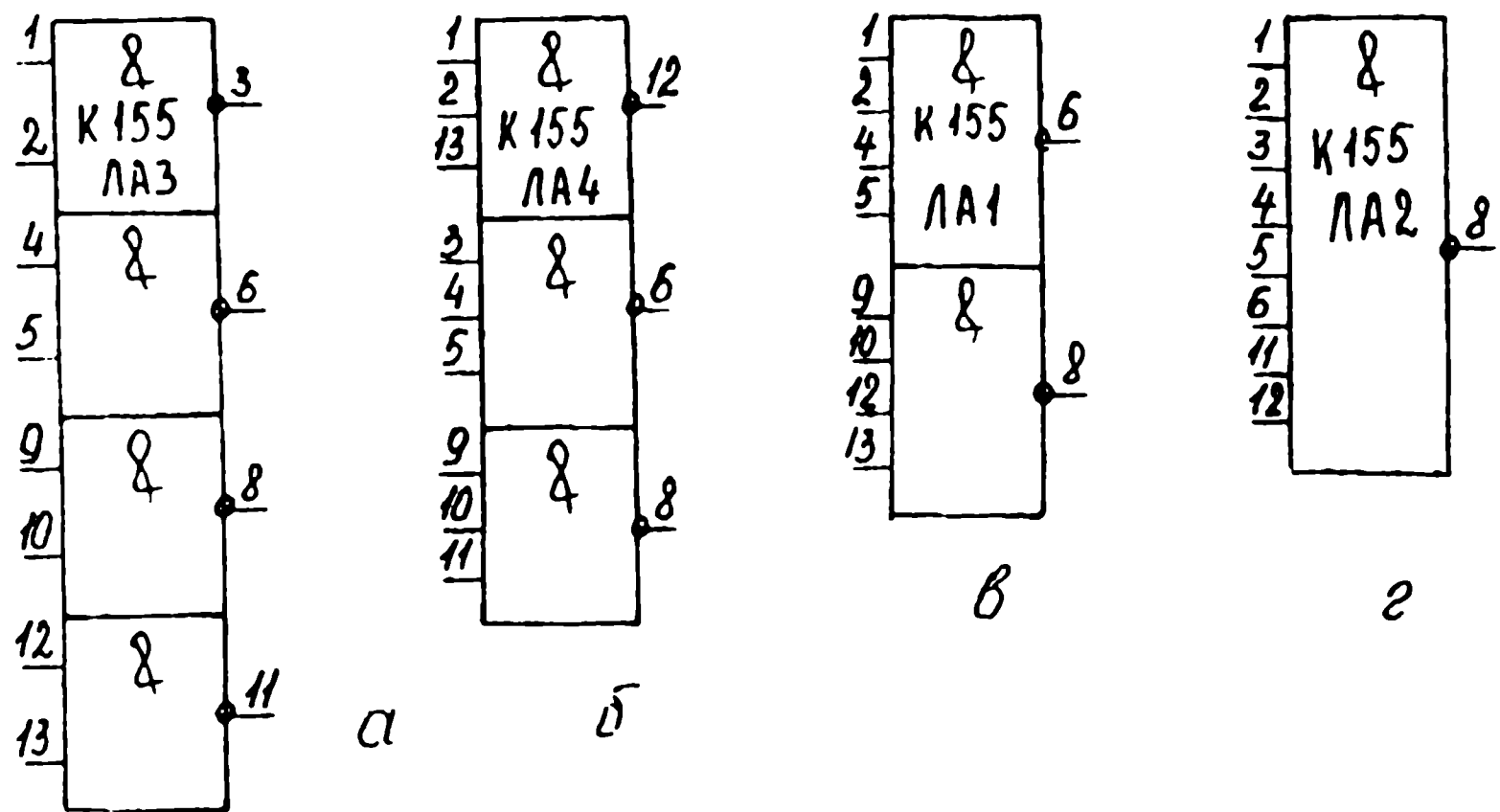


Рис. 5 Цоколевки микросхем ТТА-технологии
(+Е_{пит}-14, общ-7 выходы)
а) 4-2И-НР; б) 3-ЗИ-НР; в) 2-4И-НР; з) 8И-НР

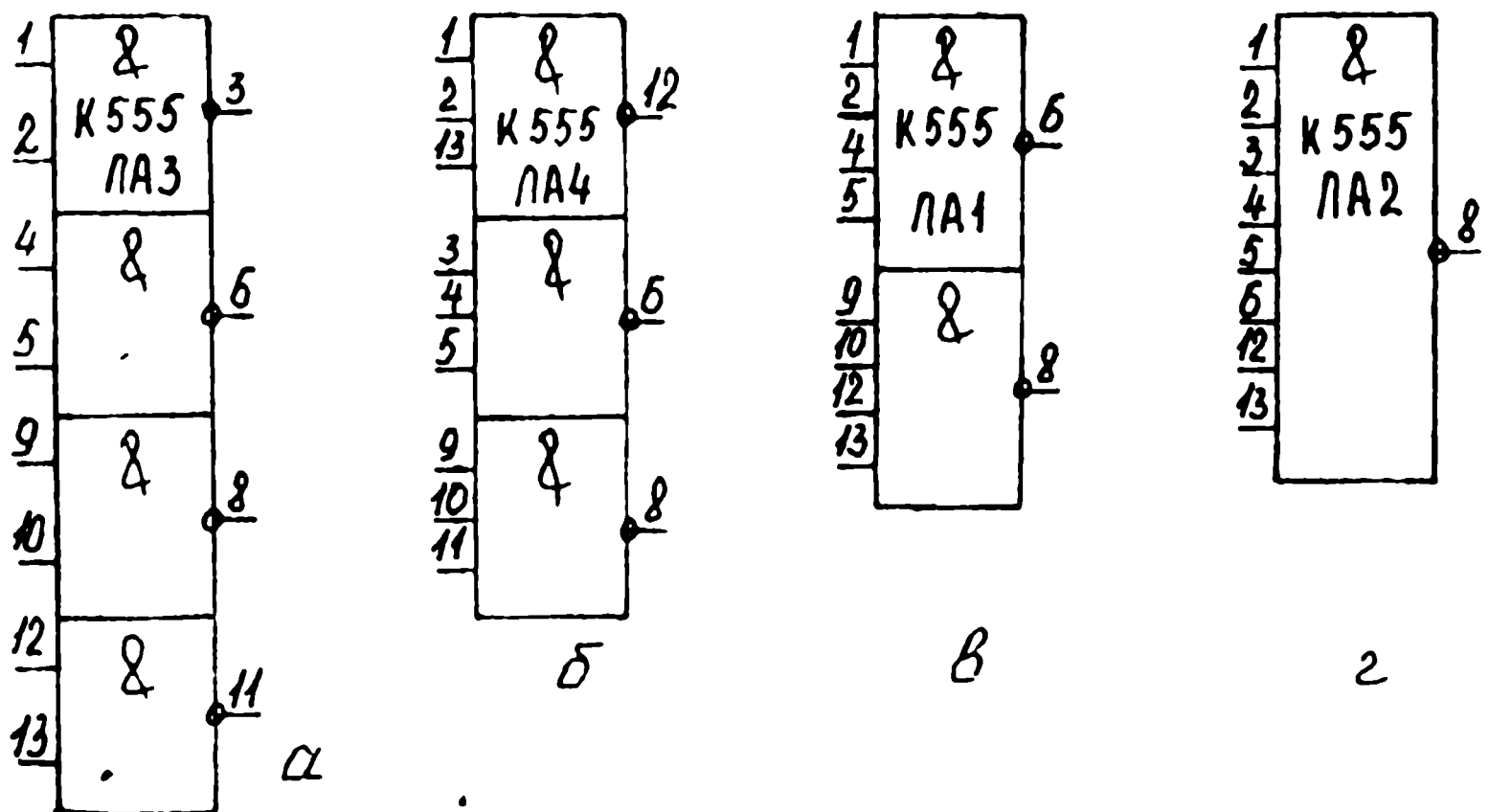


Рис. 6 Цоколевки микросхем ТТЛШ-технологии
(+Е_{пит}-14, общ-7 выходы)
а) 4-2И-НР; б) 3-ЗИ-НР; в) 2-4И-НР; з) 8И-НР

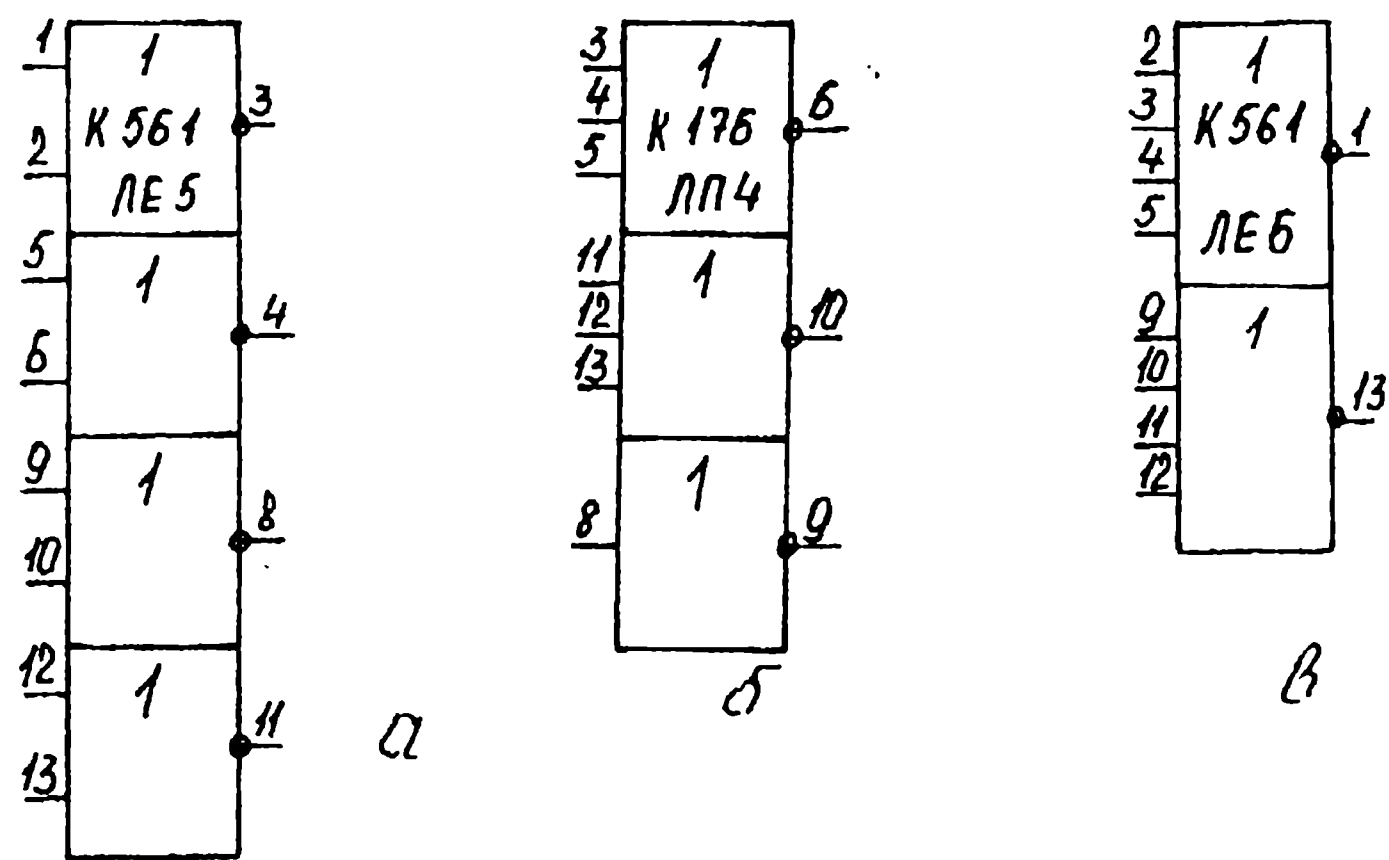


Рис. 7 Цоколевки микросхем КМОП-технологии
(+Е_{пнр}-14, общ-7 выводы)

а) 4-2ИЛИ-НЕ; б) 2-ЗИЛС-НЕ, НЕ; в) 2-4ИЛИ-НЕ

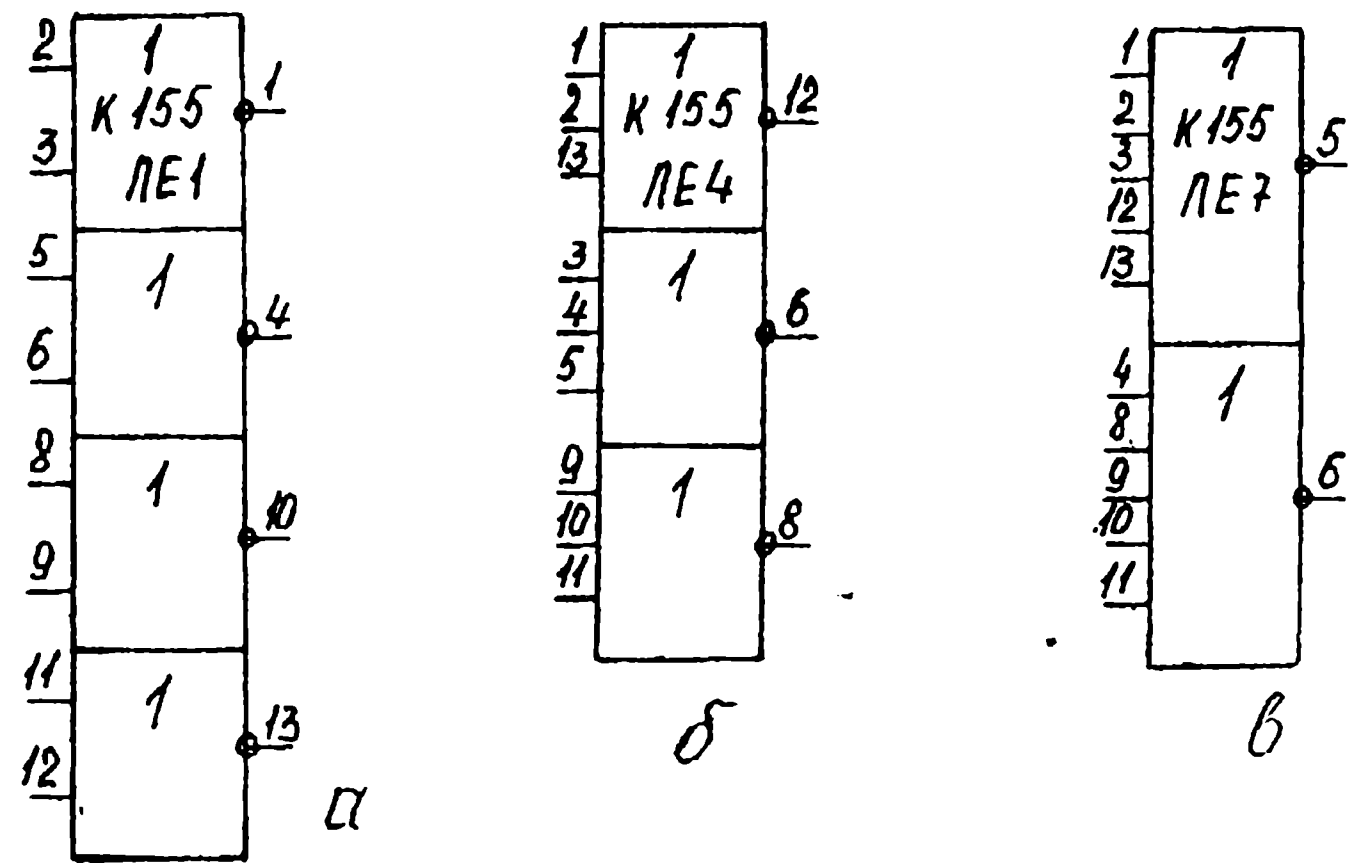


Рис. 8 Цоколевки микросхем ТТЛ-технологии
(+Е_{пнр}-14, общ-7 выводы)

а) 4-2ИЛИ-НЕ; б) 3-ЗИЛС-НЕ; в) 5ИЛИ-НЕ

- 33 -

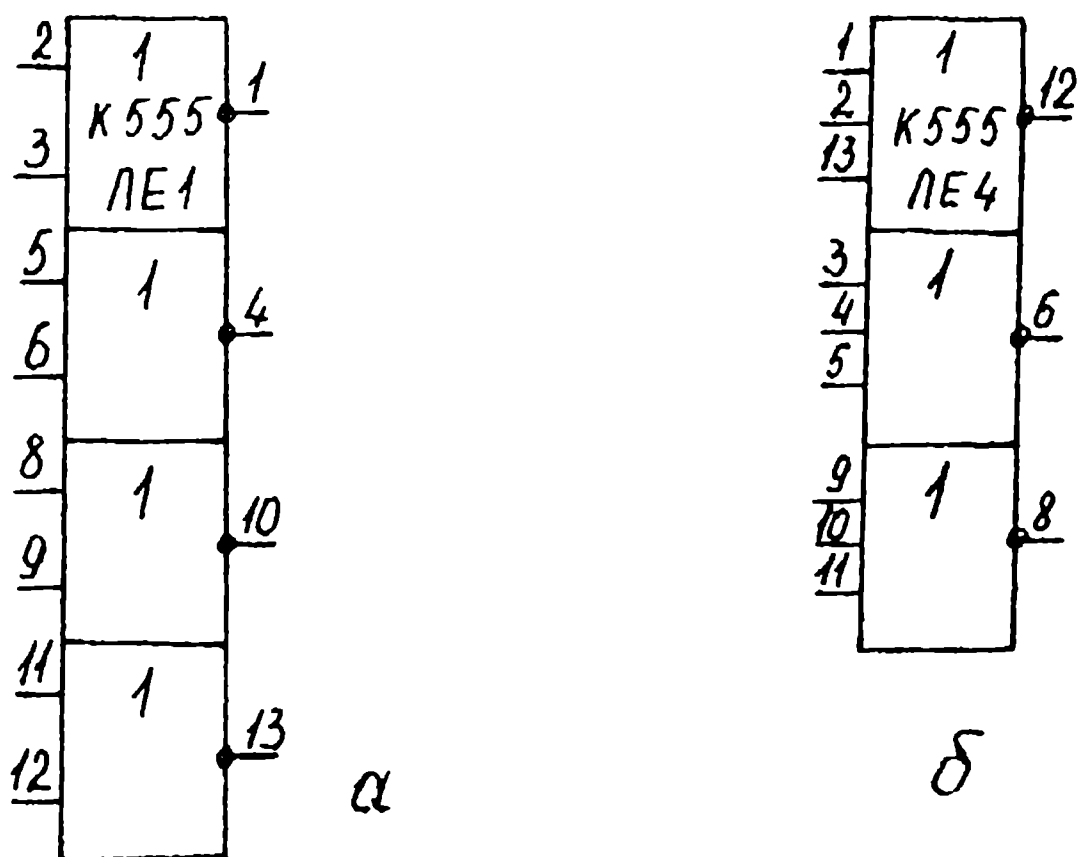


Рис. 9 Цоколевки микросхем ТТЛШ-
технологии (+Епит-14, общ-7 выводы)
α) 4-2или-НЕ; δ) 3-3или-НЕ

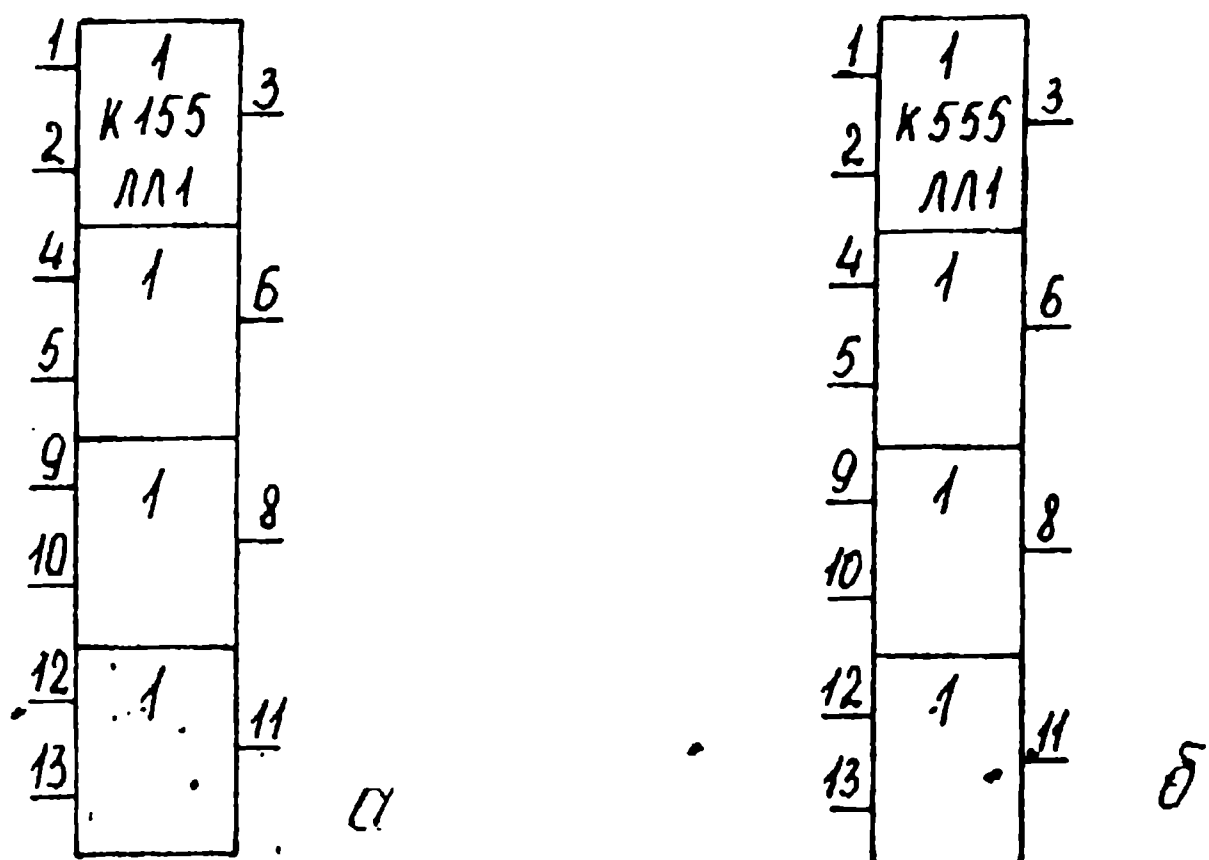


Рис. 10 Цоколевки микросхем
а) ТЛЛ-технологии 4-2или;
δ) ТТЛШ-технологии 4-2или
(+Епит-14, общ-7 выводы)

| | | | |
|----|--------------|------|-------|
| 1 | $\bar{R}1$ | T | |
| 2 | $S\bar{1}.1$ | K555 | Q_1 |
| 3 | $S\bar{1}.2$ | TP2 | |
| 5 | $\bar{R}2$ | T | Q_2 |
| 6 | $S\bar{2}$ | | |
| 10 | $\bar{R}3$ | T | |
| 11 | $S\bar{3}.1$ | | Q_3 |
| 12 | $S\bar{3}.2$ | | |
| 14 | $\bar{R}4$ | T | Q_4 |
| 15 | $S\bar{4}$ | | |

Рис.1 Цоколевка
RS-триггера K555TP2
(+Енн.-16, общ-8выход)

| | | | |
|----|------|------|----------|
| 4 | $S1$ | T | Δ |
| 3 | $R1$ | K561 | Q_1 |
| 5 | $E1$ | TP2 | |
| 6 | $S2$ | T | |
| 7 | $R2$ | | Q_2 |
| 12 | $S3$ | T | Q_3 |
| 11 | $R3$ | | |
| 14 | $S4$ | T | Q_4 |
| 15 | $R4$ | | |

Рис.2 Цоколевка
RS-триггера K561TP2
(+Енн.-16, общ-8выход)

Окончание прил. 2

Таблица 1
Таблица истинности K555TR2

| Входы | | | Выходы | Режим работы |
|-------------|-------------|-----------|--------|--------------|
| $\bar{S_1}$ | $\bar{S_2}$ | \bar{R} | Q | |
| 1 | 1 | 1 | Q_0 | хранение |
| X | 0 | 1 | 1 | запись 1 |
| 0 | X | 1 | 1 | запись 1 |
| 1 | 1 | 0 | 0 | запись 0 |

Таблица 2
Таблица истинности K561TR2

| Входы | | | Выходы | Режим работы |
|-------|-------|-------|-----------------------|----------------|
| E_i | S_i | R_i | Q | |
| 0 | X | X | Z | Z-HQ состояния |
| 1 | 1 | 0 | 1 | запись 1 |
| 1 | 0 | 1 | 0 | запись 0 |
| 1 | 0 | 0 | Q | хранение |
| 1 | 1 | 1 | Запрещенное состояние | |

Приложение 3

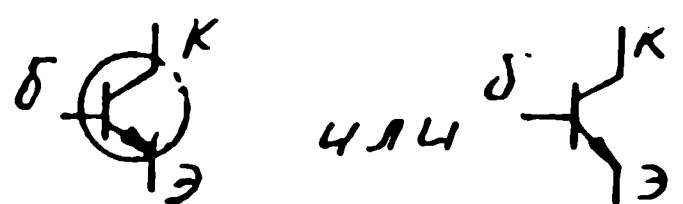


Рис. 1. Транзистор 2Т608А
Л193.365.013ТУ кремниевый п-р-п
средней мощности
Условное графическое обозначение

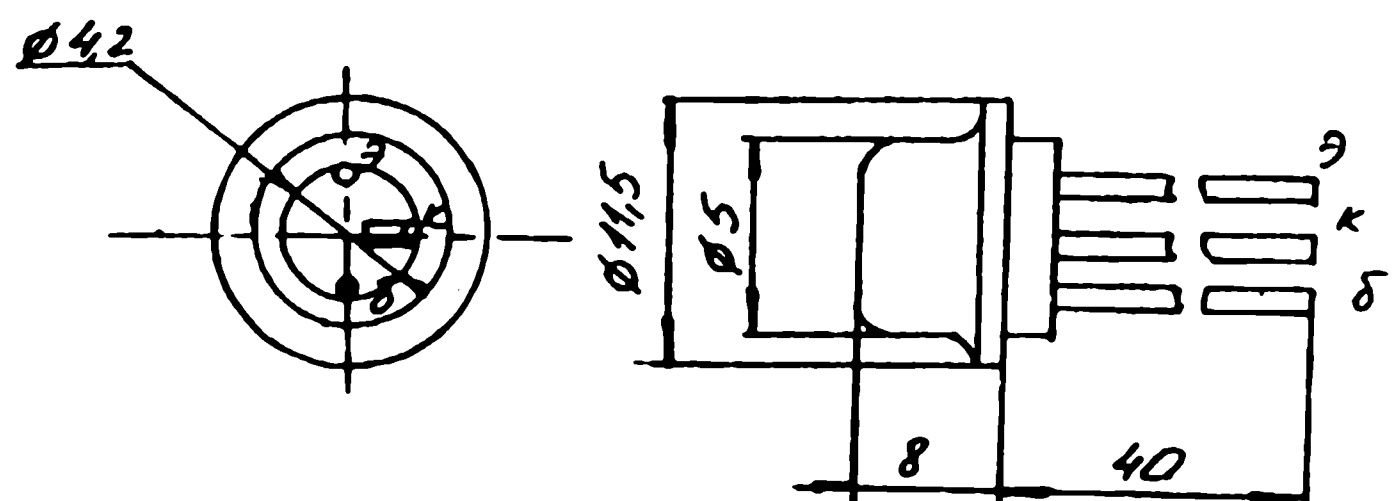


Рис. 2. Габаритные размеры
транзистора 2Т608А

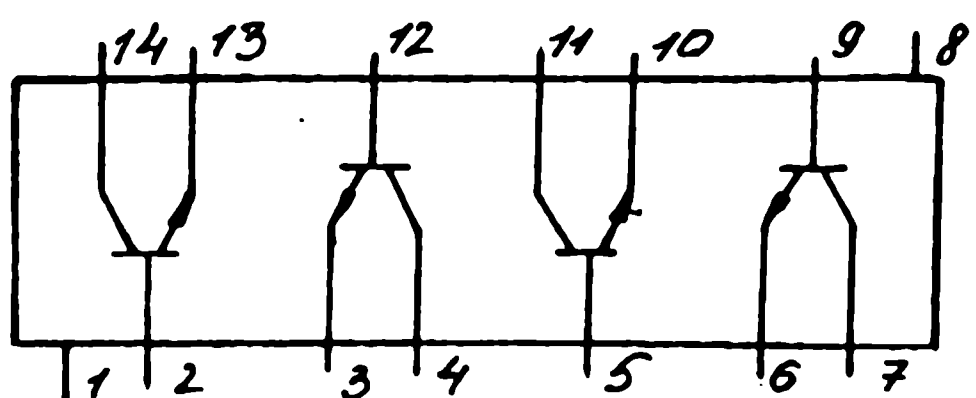


Рис. 3. Матрица транзисторная
1НТ251 Л.93.456.000ТУ
Условное графическое обозначение

Окончание прил. 3

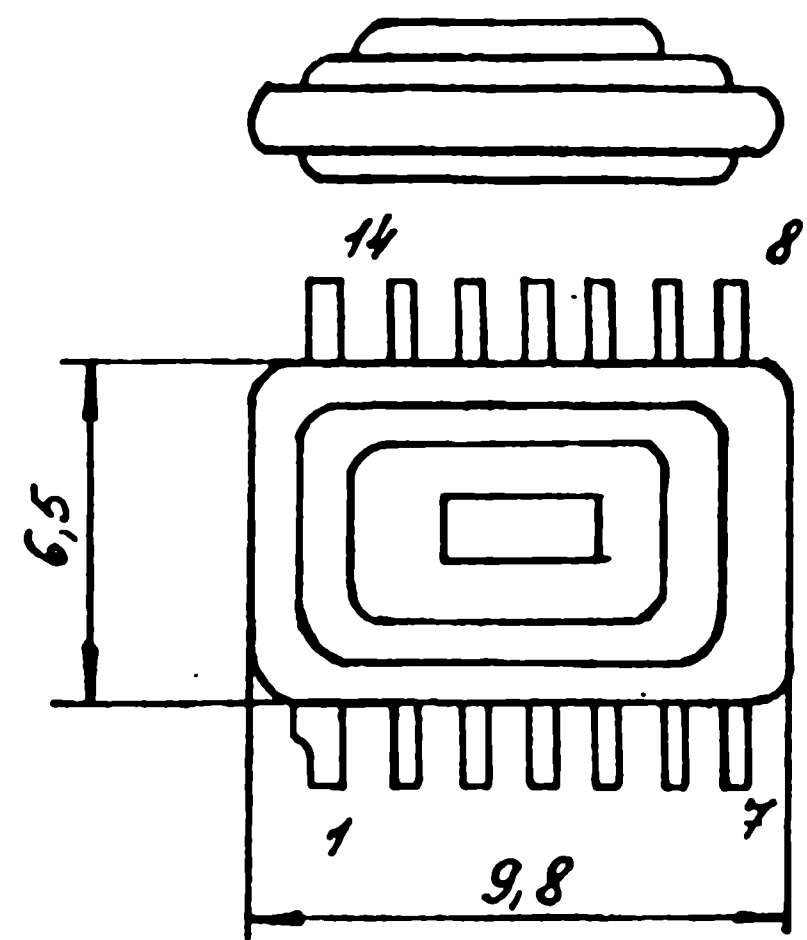


Рис.4 Габаритные размеры 1Н7251

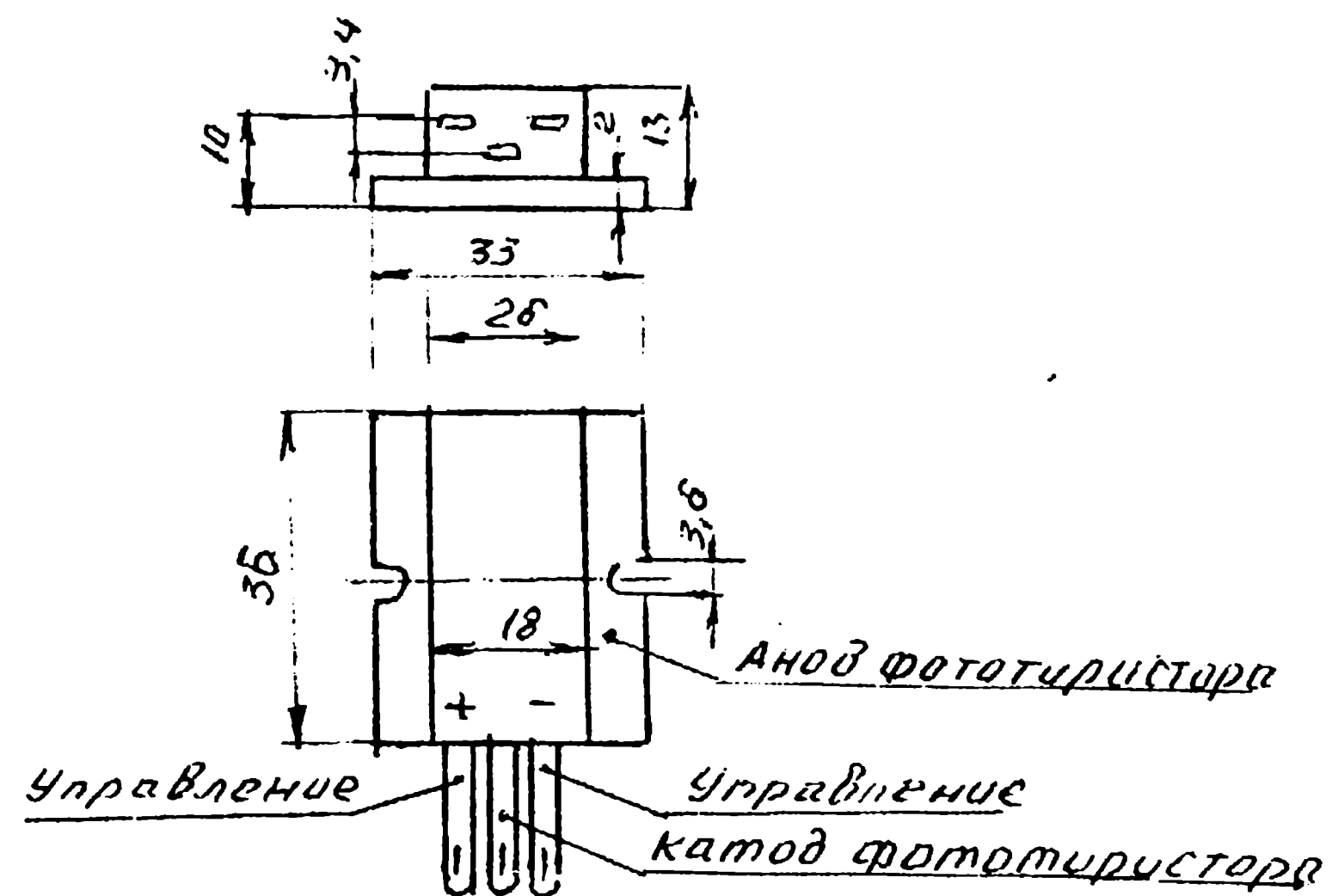


Рис.1 Тиристорная оптопара ТО-125

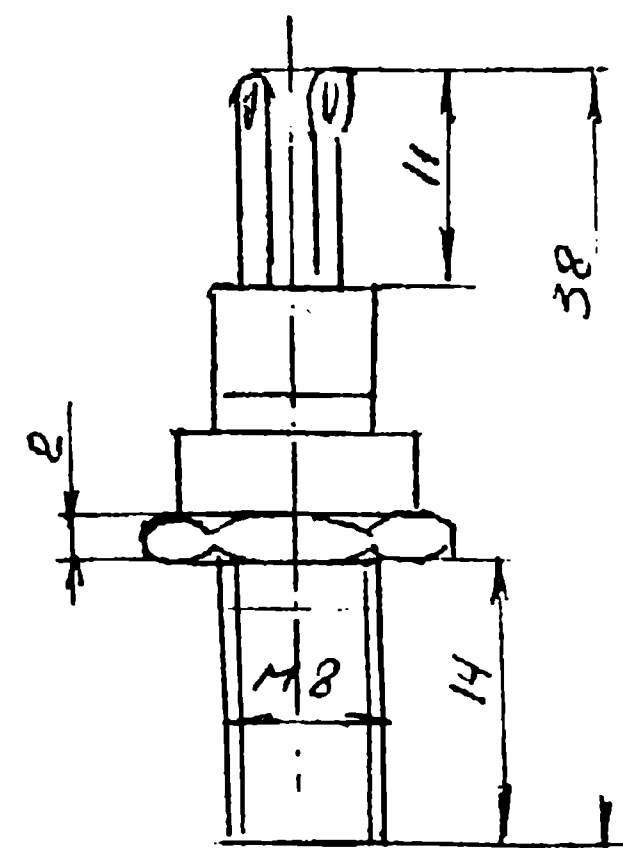


Рис.2 Тиристорная оптопара 2T0132

Приложение 5

Интегральные стабилизаторы напряжения и их основные схемы включения

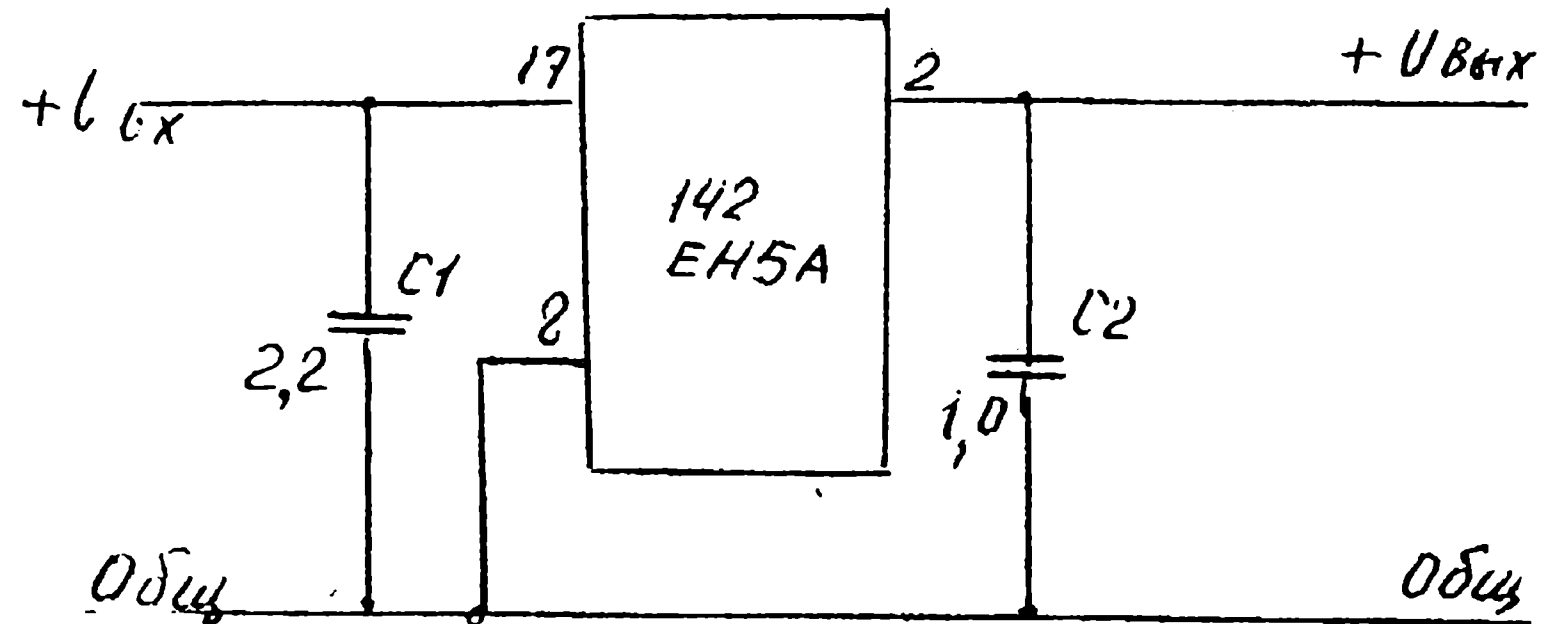


Рис. 1. Схема включения интегрального стабилизатора 142EH5A, обеспечивающего фиксированным напряжением 5В при токе нагрузки 1,2А

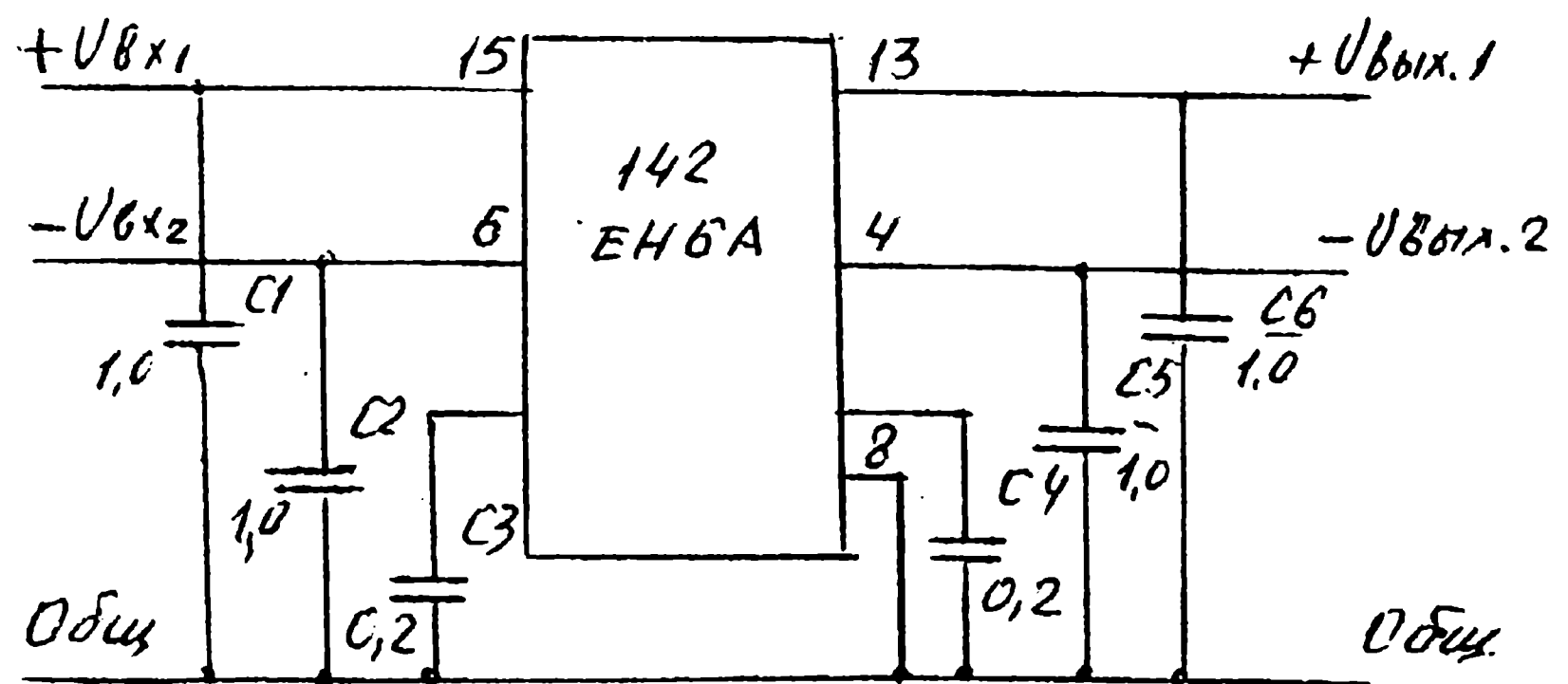


Рис. 2. Схема включения интегрального стабилизатора 142EH6A, с двумя фиксированными выходными напряжениями +15В и -15В при токе нагрузки по 200 мА

Приложение 6

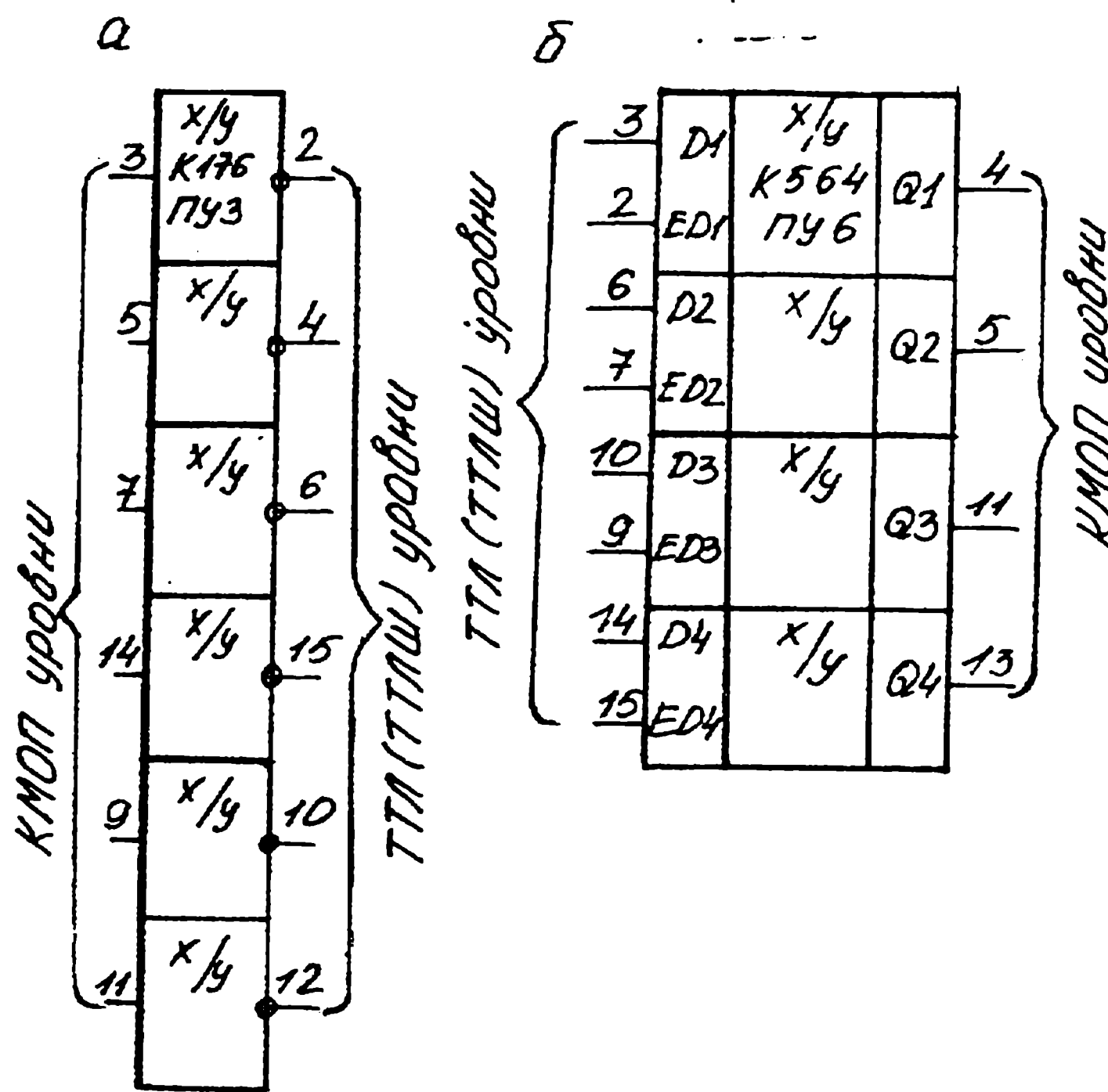


Рис.1 Цоколевки микросхем КМОП-

- ТЕХНОЛОГИИ

а - преобразователь сигналов КМОП
уровней в сигналы TTL (TTLШ)
уровней;

б - преобразователь сигналов TTL
(TTLШ) уровней в сигналы КМОП
уровней